# 第 6 章

発電設備の予備設計

# 第6章 発電設備の予備設計

	가는 통해 보면한 하는 것이 되었다. 그 전에 되었다. 그 사람들은 사람들이 되었다. 그 사람들이 되었다. 그는 말을 하는 것은 것이 되었다. 그는 것이 되었다. 그 사람들이 되었다. 그 사람들이 되었다. 그 사람들이 되었다.	頁
<b>S</b> 1	6.1 要 盲	6 - 1
	6.1.1 基本的考え	6 - 1
	6.1.2 計画の要点	6 - 2
	6.2 予備設計条件	6 - 4
	6.2.1 サイト条件	6 - 4
	6.2.2 設計条件および基本諸元	6 -29
	6.2.3 発電所の運用条件	6 -31
	6.2.4 発電プラントの基本諸元	6 - 33
	6.3 発電設備の概要	6 - 37
	6.3.1 基本諸元	6 - 37
	6.3.2 土 地 造 成	6 - 37
	6.3.3 港湾設備	6 - 38
	6.3.4 揚運炭・貯炭設備	6 - 38
	6.3.5 重軽油貯蔵タンク	6 - 40
	6.3.6 淡水供給設備	6 - 40
	6.3.7 ポイラー設備	6 - 41
	6.3.8 タービン設備	6 - 43
:	6.3.9 復水器冷却設備	6 - 45
	6.3.10 電気設備	6 - 47
	6.3.11 灰処理装置	6 - 49
	6.3.12 発電所本館	6 -50
	6.3.13 煙 突	6 - 50
	6.3.14 付属建物	6 - 50
	6.3.15 環境対策設備	
	6.4 発電所レイアウト	6 - 52
	6.4.1 レイアウトの基本構想	6 - 52
	6.4.2 発電所の敷地面積	6 - 52
	6.4.3 構造物および機器の配置	6 - 53
	6.5 発電所用地	6 - 59
	651 脚	6 - 59
	6.5.2 敷地造成高さ	6 - 59
	653 動物造成および動物護量	6 - 59
	6.6 港 湾 計 画	6 - 63
	6.6.1 基本構想	6 - 63
	6,6.2 港 湾 施 設	6 - 64
	6.6.3 進内の航行管理	6 - 66
	6.6.4 静穏度の検討	6 - 66

6.7 揚運炭·貯炭設備		<del>-8</del> 1
6.7.1 検討条件	그리다 그런 얼마를 하고 있다.	<b>−81</b>
6.7.2 アンローダ		-83
6.7.3 揚炭桟橋		<b>–</b> 85
6.7.4 受入コンベア設備		88
6.7.5 貯炭場および貯炭場設備		- 97
6.7.6 払出コンペア		-105
6.7.7 混 炭 方 法		-106
6.7.8 コールバンカ		-107
6.7.9 最適化の検証	- 1	-109
6.8 重軽油貯蔵設備		-117
6.8.1 重油貯蔵タンク	6	-117
6.8.2 軽油貯蔵タンク		-120
6.9 淡水供給設備		-123
6.9.1 発電所淡水使用量		-123
6.9.2 取水地点の選定	6	-133
6.9.3 取水設備およびパイプライン	<u> </u>	-134
5.10 ボイラー設備		<b>—139</b>
6.10.1 ポイラー本体	6	-139
6.10.2 徽粉炭燃焼装置	· · · · · · · · · · · · · · · · · · ·	-144
6.10.3 重・軽油燃焼装置		-146
6.10.4 所内ポイラと補助蒸気		148
3.11 蒸気タービン設備		
6.11.1 復 水 器		-153
6.11.2 主要ポンプ類		- 160
6.11.3 給水加熱器		-163
6.12 復水器冷却水設備 ····································	6	
6.12.1 基本条件	- 「大きない」 -	-164
6.12.2 取・放水口の位置および形式	그 그 그 그 그 그 그 그 그 그 그 그 그 그 그 그 그 그 그	-164
6.12.3 取水口および取水管		<b>-165</b>
C 1O 4 10		
6 19 5 送・放水管路		-166
6.12.5 送・放水管路 6.12.6 放水槽および放水口		-167
6.12.7 塩素注入設備		-167
3.13 電 気 設 備	6	-179
6.13.1 電気系統	der der der der eine G	
6.13.2 定格電圧の選定	三十二年 经基本证券 医二甲基甲基二甲基甲基甲基甲基甲基甲基甲基甲基甲基甲基甲基甲基甲基甲基甲基甲基甲	<b>-181</b>
6.13.3 発電機容量	6	14 5 7 K
6.13.4 変圧器容量	6	
6.13.5 開 閉 所	그 그 그 그 사는 사람들은 사람들이 되는 것이다.	
0.10, 0 pri pri 171		-192
6.13.6 非常電源		100

6.13.7 計測制御		6 - 19
6.14 灰処理設備		6 - 19
6.14.2 灰処理および	<b>「灰捨方式</b>	6 - 19
6.14.3 灰処理系統模	機器の容量	6 -19
6.14.4 灰輸送トラッ	, y	6 - 19
6.14.5 灰 捨 場		6 -19
6.14.6 灰捨場護岸*	および排水システム	6 -20
6.15 発電所本館		6 -20
6.15.1 本館レイアウ	ት . ······	
6.15.2 基 礎	<u> </u>	
6.15.3 上部構造		6 - 20
6.16 煙 突		6 -21
6.16.1 設計条件		6 - 21
6.16.2 形 式		6 -21
6.16.3 工 法	<b></b>	6 -21
6.16.4 その他		6 - 21
6.17 付属建物		6 - 21

•

# List of Figures

	Fig 6.2-1	Site Location (Masinloc, Zambales)
	Fig 6.2-2	CLIMATE & SEA Water Temperature
٠.	Fig 6.2-3	Distribution Diagram of Wind Direction and Speed (Iba)
	Fig 6.2-4	Distribution Diagram of Wave Height on South China sea (Area 25)
	Fig 6.2-5	Masinloc Site Borehole Location (2-1)
	Fig 6.2-6	Masinloc Site Borehole Location (2-2)
	Fig 6.2-7	Masinloc Site Boring Log
	Fig 6.2-8	Masinloc Site Geological Profile
	Fig 6.4-1	Masinloc Site Plot Plan
	Fig 6.4-2	General Arrengement of Equipment
	Fig 6.5-1	Land Reclamation
	Fig 6.6-1	Masinloc, Zambales Approach Channel & Turning Basin
	Fig 6.6-2	The Operation of Vessel in Turning Basin
	Fig 6.6-3 (1)	Calculation Method for Design Wave
	Fig 6.6-3 (2)	Calculation Result on Waves Combined Deep Water Wave
		With Wind Waves in Bay
	Fig 6.7-1	Jetty and Coal Vessel Mooring
	Fig 6.7-2	Coal Unloading Jetty (2-1)
	Fig 6.7-3	Coal Unloading Jetty (2-2)
	Fig 6.7-4	Offshore Conveyor Foundation
	Fig 6.7-5	Coal Storage Yard
	Fig 6.7-6	Coal Handling Flow Diagram
	Fig 6.7-7	Coal Hondling System Flow Diagram
	Fig 6.8-1	Oil Storage Tank
	Fig 6.9-1	Fresh Water Balance Sheet
	Fig 6.9-2	Fresh Water Flow Diagram
	Fig 6.9-3	Fresh Water Intake and Pipeline
	Fig 6.9-4	Fresh Water Intake

図 6.10-1 設計炭における火炉寸法 ファウリング性並びにガス温度とスートプロワ有効半径の関係 図 6.10-2 発電量当りの灰量と設計ガス流速の関係(目安) 図 6.10-3 図 6.10-4 Air and Gas Flow Diagram 補助蒸気量の検討 図 6.10-5 Fig 6.12-1 Cooling Water Intake Fig 6.12-2 Cooling Water Pump Pit Fig 6.12-3 Cooling Water Pipe Cooling Water Outlet Fig 6.12-4 図 6.12-5 海水通過時間の推定 Fig 6.13-1 One Line Diagram Fig 6.13-2 Generator Capacity-Terminal Voltage Fig 6.13-3 Switchyard Layout Ash Handling System Flow Diagram Fig 6.14-1 Fig 6.14-2 Ash Disposal Area Fig 6.15-1 Power House Yard General Arrengement Fig 6.15-2 Power House Plan EL + 12,000 Fig 6.15-3 Power House Section Fig 6.16-1 Stack Plan, Elevation & Section

# List of Tables

	and the first and the second section of the section of
Table 6.2-1	<pre><climatological normals=""> Period of Records (1951~1985)</climatological></pre>
Table 6.2-2	<pre><climatological extremes=""> Period of Records-As of 1986</climatological></pre>
Table 6.2-3	Record of Wind Direction and Speed
Table 6.2-4	Frequency Distribution of Wave Height on South China Sec
Table 6.2-5	Stratigraphy in the Zambales Range
Table 6.6-1	(1)Procedure to Calculate Design Wave

Table 6.6-1(2) Procedure to Calculate Calmness in Port

Table 6.6-2(1)Distribution of Wave Heights (Wave Combines Deepwater Wave with Wind Wave in Bay)

Table 6.6-2(2)Calmness in Berthing Basin

表 6.7-1 貯炭方式の比較

表 6.9-1 発電所用水量

表 6.11-1 最適真空度比較表

Table 6.13-1 High Voltage Switchgear System

Table 6.13-2 Motor Capacity-Critical Cable Length

Table 6.13-3 Cost Comparison from Power Factor/Short Circuit Ratio

Table 6.13-4 Standard Impedance of Transformer

Table 6.13-5 Capacity of MC Feeders

Table 6.13-6 Load of Starting Transformer

Table 6.13-7 Comparison Table of Circuit Breaker Scheme

Table 6.13-8 Comparison Table of CS and GIS for Switch yard

# 6.1 學學 自

# 6.1.1 基本的考え

発電設備、特に海外炭を使用する石炭火力設備の予備設計を行う場合、幾つかの考慮すべき事項がある。

- (1) 海外から大量の石炭を輸入するため、大型の石炭運搬船を使用する。このため大規模の港湾が不可欠となる。この港湾計画は大型石炭船を安全に操船出来る計画でなければならない。このためには大型船の操船に熟練した専門家の検討が不可欠である。
- (2) 石炭荷役設備(貯炭場の容量検討を含め)の最適化を図る必要がある。海外炭を輸送する石炭船は計画通りには入港しない。この理由は天候、積出し港における待機等による。この要因がアンローダ等の石炭荷役設備の容量、貯炭場の容量決定に密接に関係する。我々は1981年に日本で初めての海外炭火力を計画するにあたり、シミュレーションによってこの問題の最適化を図ることに成功した。このプログラムを利用し、この計画の石炭荷役設備について、その設備の最適化が実施されたか否かを検証した。
- (3) 発電所の機器配置は、燃料の受入れから電気となって送り出されるまでの、一連のフローが合理的に配置される事が最も望ましい。しかし地点の形状、地盤の強度等の影響を受け必ずしも理想的な配置は得られないのが普通である。従って普通には地形、地質を優先的に考え、極力合理的な配置となるよう検討を行う。また発電所内の機器配置には幾つかの方式が考えられているが、保守の便利さと共に工事費の削減を図る考えをペースとして検討する。
- (4) ポイラー、ターピンの計画でとくに重要な事項は、 選択された燃料に適するポイラーであること。 経済的な蒸気条件であること。

开关的复数形式 医多克利氏试验

などが挙げられる。しかし海外炭を利用する場合、特定の石炭が、発電所の耐用年数 (この場合30年間) にわたって入手出来ると考える事は現実的ではない。このため海外の石炭市場の動向を勘案し、ボイラー設計が経済的に行える標準的な石炭を選定する必要がある。この石炭としてわれわれは豪州の Lemington炭を選定した。また蒸気条件については発電所のライフを考え、保守の容易さも勘案して決めることが必要である。

(5) 発電機は送電線に接続される。言い換えれば発電機は送電線の電気的影響を受ける。この地点は需要地であるマニラから250 kmの地点にあり、このことが発電機の特性、即ち短絡比、力率を決定する場合に大きく影響する。 また発電所内の重要機器のモータ電圧については、信頼性、経済性を考慮して選定する事が肝要である。

## 6.1.2 計画の要点

(1) 楊炭桟橋の位置は、Oyon湾の海底地形を考慮し、且つ大型石炭船を極力発電所地 点まで引き込むことを考慮して選定した。これにより桟橋近傍の静穏度を確保し、 さらに貯炭場までのコンベア長さの節約を図った。

- (2) 桟橋前面に泊地を設けることによって、操船の容易さ、安全性の向上を図っている。
- (3) 灰捨場をプラントに隣接して陸上に確保した。これにより経済的な計画を立てることが出来た。この灰捨場の容量としては30年分の面積を考慮した。実施に当たては第1期分として10年分程度を取得し、順次拡張していく事が現実的と考える。
- (4) 石炭荷役設備(アンローダ、貯炭場、コンベア、スタッカ、リクレーマ)の容量 については、海外炭の受入れを加味した計画を立てる必要がある。この為シミュレーションによって設備計画が最適であることを検証した。貯炭場はスタッカ、リクレーマによる受入れ、払出し方式とした。この方式はブルドーザを使用する方式に比して、粉塵、騒音の点で有利と考える。

- (5) 国内炭と海外炭の混炭比を50%:50%に選ぶ事によって、国内炭の利用度を向上させつつポイラー設計、貯炭場容量、灰捨場容量の経済性を向上させた。
- (6) 蒸気条件については、幾つかのケースを比較し、発電所の耐用年数(30年)に見合う経済性と、保守の容易さを考慮して169kg/cm、538/538 ℃を選定した。
- (7) タービンの低圧車室の数は300MW 級の場合、1車室とするのが最近の傾向である。 これにより全体的な経済性の向上が期待出来る。
  - (8) 効率の向上について検討した結果、抽気段数を8段とした。
  - (9) 系統解析結果により、発電機の短絡比を0.58、力率を0.9 とした。
    - (II) 発電所の高圧モータの電圧は、6.9 kVを選定した。これによりモータの小型化が 図れ、かつケーブルも経済的となる。
- (1) 煙突の髙さは120mとして、周辺の環境保持に配慮した。構造方式は鉄筋コンクリート構造として、構造物の保全性、経済性を向上させた。

# 6.2 予備設計条件

# 

### (1) 位置およびアクセス

Masinloc 地点は、ルソン島の西岸で南シナ海に面した Region IIIの Zambales 州に属し、北緯15°34′、東経 119°55′に位置する。首都マニラからサイトまでは国道3号線(高速道路)および国道7号線を使用し、主要都市 San Fernando, Olongapo, Ibaを経て Masinloc に至る。その距離は約 250kmである。

発電所サイトは Masinloc を北へ国道沿いに約5kmの地点から西にある Bani Point へ向い、約2.6kmの地点に位置する。 (図6.2-1参照)

# (2) 気象

# i)概。要是Electrical to the Laberty Electric Lab JOSE 是基本分子

フィリピンは熱帯性気候に属し、比較的湿度が高く、温和な気温で雨量は豊富である。季節は6月から9月までの湿潤な雨期、10月から2月までの涼しい乾期および3月から5月までの暑い夏に区分される。

本発電所の予備設計に用いる気象データは、サイトの南約37kmの Iba市内にある気象観測所 National Institute of Climatology (PAGASA) での観測値を用いた。

表6.2-1および図6.2-2に Ibaにおける平均気象データ、表6.2-2に異常気象データを示す。

## ii) 気 温

35年間の日最大気温の平均は31.5度、平均気温は27.0度、日最低気温の平均は22.5度であり4月に最大および1月に最低気温を示している、1日の最高気温は33.3度で4月に、また最低気温は20.3度で1月に出ている。平均気温の月変化は2.7度であり、非常に小さい値となっている。

又、過去47年間における最高気温は38、8度で4月に、また最低気温は12.2度で9月に記録されている。

#### iii)降雨量

35年間の年平均降雨量は 3,702 mm であり、その降雨量は6月から9月までの雨期に集中し、この間に年間の約83%が記録されている。又降雨日も年間の約66

%を占めている。

76年間における日最大雨量は624 mmで、9月に記録されている。

# iv) 相效湿度

35年間の平均相対湿度は79%であり、雨期の平均相対湿度は86%、乾期は76%で10%の差を記録している。

# v) 風

Iba 気象観測所の 5 年間 (1981~84) の 3 時間毎の風向・風速データを用いて 図 6.2 - 3 に示す風配図を作成した。

この図によると卓越風向はNE〜EおよびNWである。又、 2.0 m/s未満の風速の 出現率は54%、 8.0 m/s未満の風速の出現率は97%である。

8 m以上の風速の出現率は3%であり、その大部分の風向はSE~SWである。 又表6.2-2に示す様に21年間の最大風速は47m/s (SW) である。

# (3) 海 象

# i)潮 汐

当海域に関する潮位のデータは海図 "Ports Masinloc and Matalvi and Palauig Bay" の中に Port Masinlocの潮位として以下の様に記載されている。

Tides (referred to mean lower low water) Port Masinloc

Mean higher high water 2.8 ft. (0.85 m)

A large Mean sea level 1.5 ft. ( 0.46 m)

Lowest tide to be expected -1.5 ft. (-0.46 m)

又1981年から1984年の潮位表から計算した4年間の朔望平均満潮面(月最大潮位の平均)は基本水準面から1.3m、また朔望平均干潮面(月最低潮位の平均)は±0.0 mであった。

なお、当海域では高潮と低潮の発生する頻度が年間の約4割が1日に2回、残りの約6割が1日に1回となっている。

## ii)潮 流

ルソン西岸では、上げ潮は南に、また下げ潮は北に流れ、それらの平均最強流 速は1/ット程度である。なお、南シナ海の海流は季節風に応じ変化するが、ル ソン西岸の海流はおおむね北に流れ、その平均最強流速は1ノット程度である。

Oyon湾の潮流・海流のデータは少ない。調査団が取水口付近で実施した観測によると潮流は 0.3ノット以下であった (7月19・20日 満月)。また一方 Masinloc港に入港した船舶からは、かなり強い潮流があるとの情報もある。

### iii)波

南シナ海は、北東〜南西の方向に長い距離をもつ海域である。持続性のある北 東季節風は北及び北東からの高い波を発生する。

南西季節風は、南及び南西からの波を発生する。また、熱帯低気圧は非常に高い波を発達させ、ウネリとなってはるか遠くまで影響を及ぼす。

Ocean Wave Statistics (表6.2-4参照) によると、波の約85%は波高が2 m以下、周期が3~8秒を示す。これらは広大な海域で10 m/s程度以下の風が連続して吹く場合に発達する波の特徴を示す。

波高が4mを越す高波は頻度は小さいが、7~9秒の長い周期を示し、強い風が短時間に吹くときに発達する波の特徴を示す。

#### iv)海水温

南シナ海において船舶で観測した表面水温の月毎の変化を図6.2-2に示す。 これによると年間の平均水温は28.1℃で最高水温は35℃で6月に、最低水温は20 ℃で2月に記録されている。又、調査団が7月19・20日に取水口予定地点で実施 した水温観測によると海水温は29~30℃で鉛直方向の水温変化は微小であった。

# (4) 地形、地質

# 

計画地点は、Masinlocの北西約4kmの Lawis川河口の南に位置する。計画地点の陸域の地形はOyon湾に沿う標高15m~25mのゆるやかな丘陵地と、ほぼ平坦な沖積地からなっている。特に、 Lawis川寄りには標高が2m程度で水田に利用されている広大な平地が存在する。海域では、サンゴ礁や Salvador island、水深が40mから10mの曲がりくねった航路があり、地形が複雑になっている。

計画サイトの東方、約8kmよりも東側の山地には、主としてはんれい岩などから構成されているZambales Ultramaficsが分布している。Chromite (クローム鉄鉱) を採掘しているCoto鉱山は、計画地の東方約17kmに位置しており、この岩体中にある。

計画地周辺の基盤岩は、中一後期中新世に属するZambales Formationが分布している。この地層は、主に砂岩、頁岩、礫岩の互層からなり、これらの地層は一般に5°~15°で緩く傾斜する。

Bani Pointの海岸には、走向がN20°Eで、南東へ約20°傾斜した細粒砂岩が 露出している。また、丘陵地には風化した礫岩や頁岩の露頭が見られる。

海域では、ボーリング調査の結果によると、サンゴ礁以外では厚さ10m~20mの沖積堆積物が存在する。さらに、沖積堆積物とサンゴ礁堆積物の下位に見出された非常に締った砂やシルトは上記、基盤岩が強風化したものと推定されるが、Zambales Formationよりも新しい時代の堆積物の可能性もある。

# ii)調査工事結果に基づく地質考察

図6.2-5および図6.2-6に示すように、JICAによって4本の海上ボーリングと、NAPOCORによって5本のボーリング(うち1本はoff-shore)が実施されている。

を結ぶラインで作成した地質断面を図6.2-8に示す。

これらの調査結果から計画地域に分布する地層は、以下のように区分される。

・ Cr : サンゴ礁堆積物

・ Uc: シルト層 (完新世海成堆積物、沖積堆積物)

· Us : 砂 層 (完新世海成堆積物、沖積堆積物)

・ L : 締った砂、シルト層(強風化基盤岩または堆積物)

・ Ss : 砂岩、シルト岩(中新世堆積岩)

現在までに明らかになっている分布や地質、土質特性は以下のように整理される。

# a) サンゴ礁(Cr層) コーニー 出席的音楽は意思と記憶して見るととは

水深が約5mよりも浅い海域の広い範囲に発達する。

航路部分で実施したボーリングNo.4の結果では、海底から深度約13mまでサンゴ礁堆積物が確認され、本地点ではこの堆積物はL層を被って発達している。また、ほとんどすべてがサンゴの破片や貝ガラ片から構成される石灰質堆積物からなり、いわゆるサンゴ砂に相当すると考えられる。ボーリングコアーの状況からは、堆積物は固化しておらず軟かい状態であり、浚渫は比較的容易と推定される。

# b) シルト層 (U c 層) および砂層 (U s 層)

海域では、No.1、No.2、No.3の各ボーリングで確認された。

そのうち、No.1 地点では厚さ約10mの細砂ないし中砂からなるUs層が見られ、N値は19以下を示す。特に深度4mよりも以浅は、部分的にかなり緩い状態にある。この砂層は、室内試験の結果によると、50%粒径は概ね  $0.1\sim0.2$ mmを示す。また、 $74\mu$ フルイ以下の粒子は深度7m以浅の砂では、ほぼ30%~40%を示し、細粒分をかなり多く含む砂である。

U c 層は主としてシルトないし粘土からなり、ボーリングNo. 2 で厚さ10m、No. 3 で厚さ23mが確認された。このシルト層は、部分的には砂の混在によりN値が15~24を示すが、多くはN値3~10で比較的軟かい。JICAで実施した室内試験によると、一軸圧縮強度は 0.1から0.55kg/cmの範囲を示し、かなりばらつくが、平均値は0.27kg/cmであった。

陸域のうち、貯炭場で実施したボーリングDH-3では、地表から深度7mまでシルト混り細砂であるが、半島の先端であるBani Pt.付近では、ボーリングDH-2で確認したように砂層は厚さ1m程度で非常に薄く、その下位は砂岩、シルト岩からなる。

発電所西側に計画する灰捨場の護岸部分で実施したボーリングDH-4の結果によると、地表から深度35m以深まで非常に厚い砂層およびシルト層が堆積していることが明らかとなった。

# c) 締った砂、シルト層(L層)

海域のポーリングNo.1 からNo.4 において、海成堆積物(UcまたはUs)または、サンゴ礁堆積物(Cr)の下位で確認された。本層は暗灰色細砂ないし砂質シルトからなる。N値はほとんど60以上を示し、非常に密である。構造物の支持地盤として十分な強度を有している。

# d) 砂岩、シルト岩層 (Ss層)

プラントサイト内で実施したDH-1、DH-2、DH-3の各ボーリング、および隣接する丘陵地に位置するボーリングPH-1において確認された。

主として、細粒砂岩やシルト岩からなり、礫岩を挟む。これらは地表付近でやや強く風化するものの、N値は50以上であり、硬い地盤をなしている。

また、これらの地層は一部の礫岩を除いて軟岩に分類され、リッパーによる 掘削が可能と判断される。

#### (5) 既 設 港 湾

**乳色花瓣胶络白色** 医胎形成形

Masinlocには2つの港がある。Port Masinloc には鉱石の積出し桟橋があり、40,000 DWT以下の外国船を含む船舶が年間15~20回入出港している。Masinloc湾には小さな桟橋があり、石油会社等の船舶が入港している。

また、小さな漁船が港内外で漁を営んでいる。

港内の海底は浅瀬が広く分布し、その最深部を縫って航路が設けられているので数ヶ所で航路幅が狭く航路が屈曲している。これらの箇所には浮標などの航路標識が設置されている。また港に入出港するすべての外国船に水先が強制されている。水先人より「引船を使っていないので大型船の操船が難しい現況にある」との情報を得た。また、Port Masinloc では浚渫により泊地の水深を維持している。

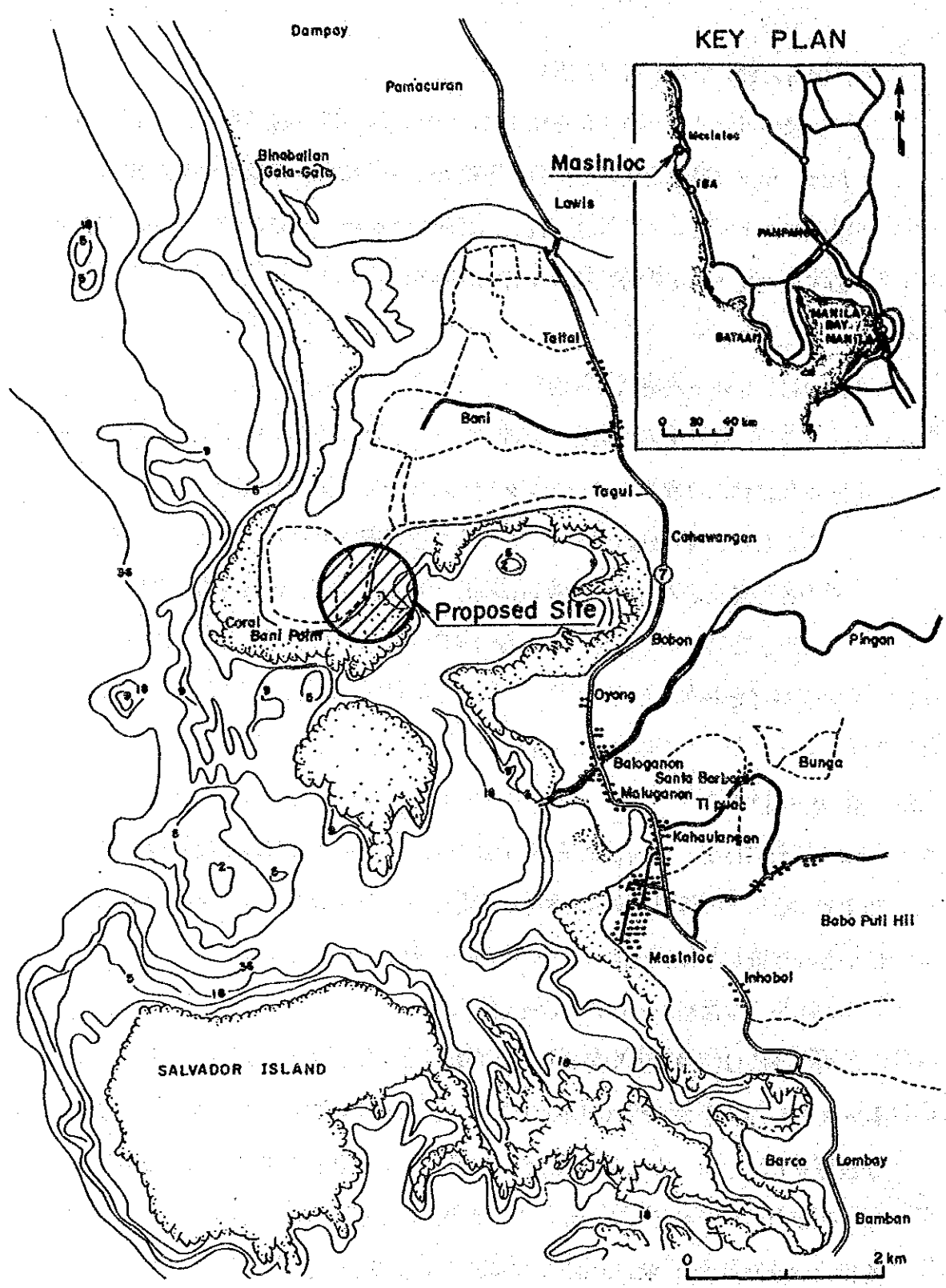


Fig. 6.2-1 Site Location (Masinloc, Zambales)

Table 6.2-1 <Climatological Normals>

Period of Records (1951~1985)

Month	Rain-	Rainy		Tempe	raturė	(°C)		-		Preva Wi	-	
House	(pa)	days	Max- imum	Min- imum	Mean	Dry buib	Wet buib	Dew pt.	RH (%)	Direc- tion	Speed (mps)	Cloud (octa)
JAN	3. 0	1	31,0	20. 3	25. 6	25, 3	22. 0	21	75	E	2	2
FEB	2.7	2	31.3	20. 4	25, 8	25, 6	22. 2	21	74	NW	3	Ž
MAR	12. 1	2	32, 3	21.7	27. 0	27.0	23. 3	22	73	NW/W	3	Ž
APR	28. 8	4	33, 3	23, 3	28. 3	28, 4	24.6	23	73	Ē	ž	ž
MAY	280. 7	12	32.9	23.8	28. 3	28, 5	25. 3	24	77	E/W	2	ä
JUN	579.0	. 18	31.5	23, 6	27. 5	27. 5	25. 2	24	83	3	ā	Ś
JUL	763. 1	24	30, 7	23. 3	27. 0	26.7	24. 9	24	86	SW	ž	Ř
AUG	1105.9	25	29. 9	23, 2	26. 5	26. 1	24. 8	24	90	SW	3	Ř
SEP	615.8	- 21	30. 7	23. 2	26, 9	26, 6	24. 8	24	86	Ε	ž	Ř
OCT	203, 9	14	31.6	23. 1	27, 3	27.0	24, 6	24	82	Ε	Ž	Š
NOV	80. 9	7	31.7	22, 5	27. 1	26, 7	23. 8	23	78	Ē	Ž	Ĭ.
DEC	25. 6	4	31.3	21. 4	26. 3	26. 1	22. 8	22	75	Ē	Ž	ġ
Annual	3701.5	134	31.5	22.5	27.0	26. 8	24. 0	23	79	Ε	2	4

Table 6, 2-2

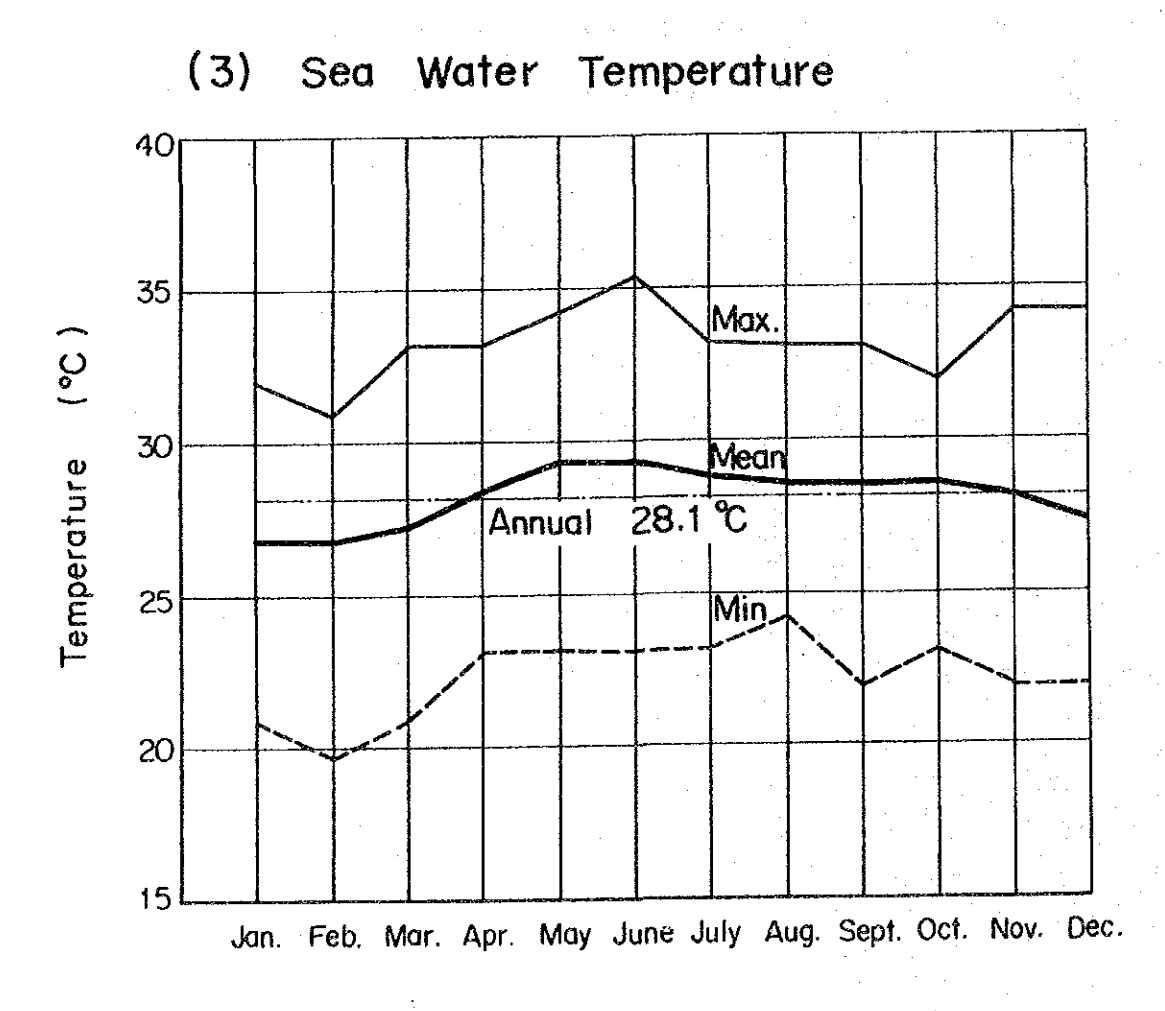
<Climatological Extremes>

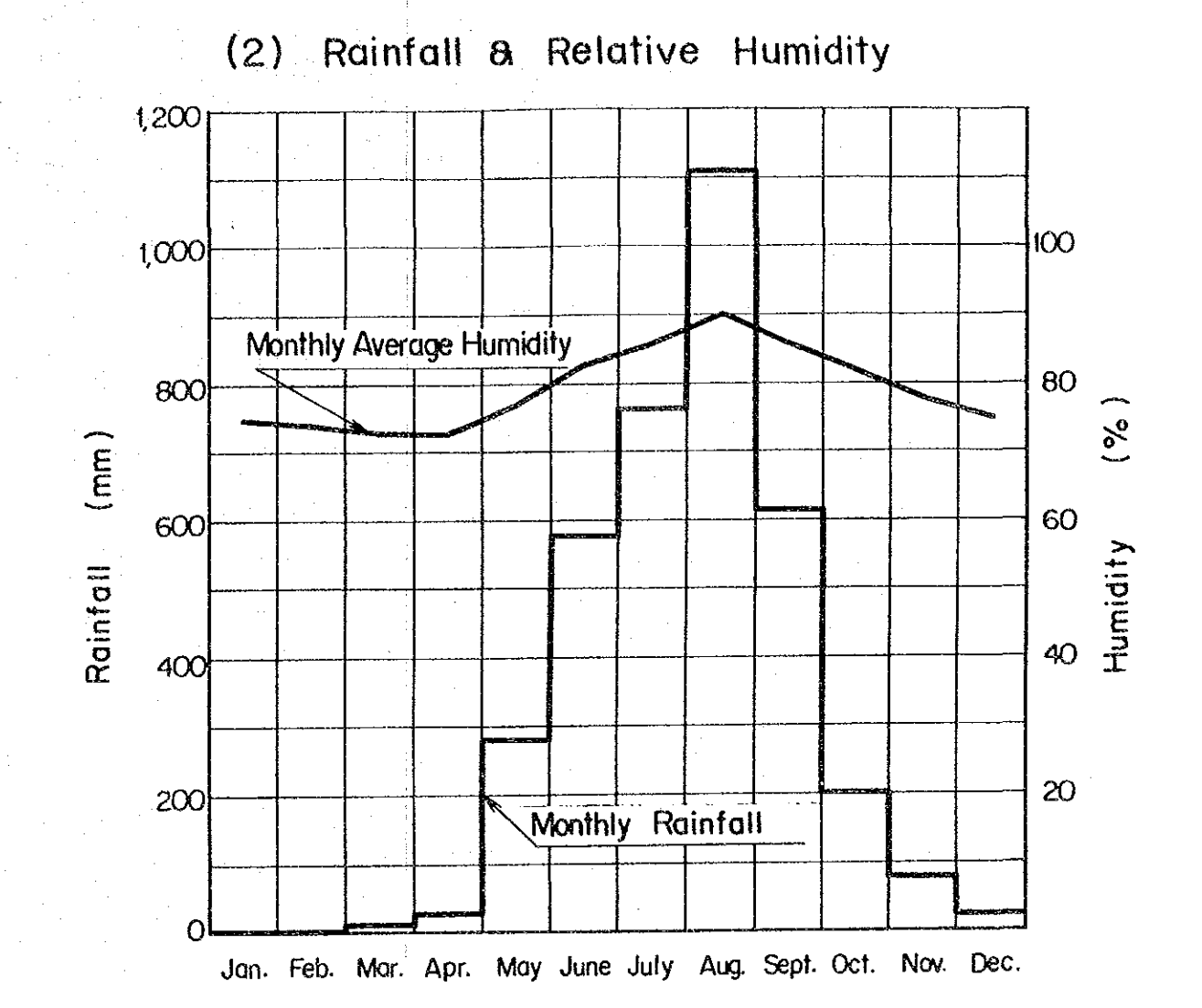
Period of Records - As of 1986

Month		Temperatur	e (°C)			st Daily II (mm)		st Wind n/s)
i ioi i e ii	High	Date	Low	Date	Amount	Date	Spd/Dir	Date
JAN	37. 2	30' 71	13. 0	12' 71	29. 7	24' 35	18/NW	19' 74
FE8	37, 2	20' 72	13. 2	8' 16	18.8	13' 71	16/E	11' 74
MAR	38, 5	27' 73	14. 0	24' 78	87. 1	17' 49	16/ESE	5' 77
APR	38. 8	22' 73	17. 0	27' 78	23, 8	22' 62	24/SW	20' 78
MAY	38. 0	ii'is	15. 5	28' 78	543. 4	23' 76	41/SW	22' 78
JUN	36. 9	4' 75	17. 8	12' 78	356. 4	22' 60	47/SW	23' 76
JUL .	36. 0	5' 73	18. 1	27'69	313. 4	20' 74	36/W	25, 80
AUG	35. 7	27' 69	14.5	6' 78	437.7	31, 40	29/8	25' 78
SEP.				10' 78	623. 7	21' 35	30/SW	16' 77
	35. 6	24' 72	12.2			13' 60		27, 18
OCT	37. 0	23' 72	17.8	21, 60	325. 9		36/\$	4' 80
NOV	38. 3	7' 72	16. 7	12' 11	291.4	14' 77	31/NNW	
DEC	38. 1	20' 71	15. 6	24' 18	138. 5	4' 36	18/E	25, 80
Overall	38, 8	4/22/1973	12. 2	9/10/1978	623. 7	9/21/1935	47/SW	6/23/1978
Period	of Record		910 - 19 949 - 19			- 1940 - 1986	1968	- 1986

# (1) Atmospheric Temperature 40 35 Max. Annual 27.0°C Min.

Jan. Feb. Mar. Apr. May June July Aug. Sept Oct. Nov. Dec.



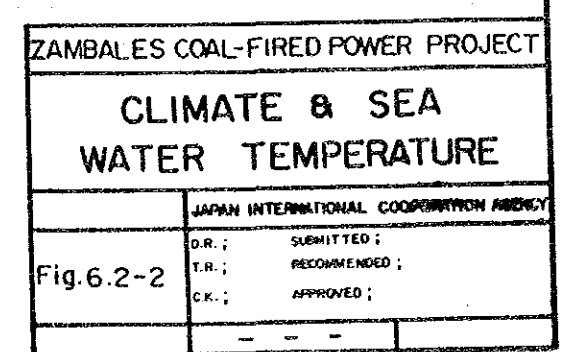


# Source

(1),(2) Climatological Normals / Averages (1951 - 1985)

: National Institute of Climatology PAGASA

(3) Observation Period : 1855 - 1971 Area of Observation : 10 - 16° N, 117 123° E



	•		
	•		

Station : Iba PAGASA Station
Latitude : 15deg, 20min, North
Longitude : 119deg, 58min, East
Elevation : 4,68m

=Speed range in m/s =Direction

R

LTO. 4 = All direction less than 0.4 m/s Data period ..... 1981 to 1985

								and the second		4 1 1 1 1 1 1 1 1 1 1 1 1 1 1 1 1 1 1 1			FICTORION							
D R	LT 0.4	N	NNE	NE	ENE	E	ESE	SE	SSE	S	SSW	SW	WSW	₩	WNW	NW	NNW	Total	Percent	Percent (Accumu- lated)
0.0 - 0.3 m/s (%)	1, 450 11, 4	0 0. 0	0.0	0 0.0	0 0.0	0 0. 0	0. 0	0 0. 0	0 0, 0	0 0. 0	0 0. 0	0 0. 0	C 0. 0	O. O	0 0. 0	0.0	0 0. 0	1, 450	11.4	11.4
0.4 — 1.9 m/s	0	523	278	784	135	1, 504	282	289	42	174	69	241	101	268	84	604	59	5, 437	42. 8	54, 2
(%)	0.0	4. 1	2, 2	6. 2	1. 1	11. 8 650	2. 2	2, 3	0. 3 32	1. 4	0. 5 70	1. 9	0. 8	2. 1	0. 7 61	4. 8	0. 5 25	3, 052	24. 0	78. 2
2.0 — 3.9 m/s (%)	0.0	1.5	1.1	2, 7	0.3	5, 1	1.1	2.0	0.3	1.3	0.6	1.4	0. 5	2. 3	0. 5	3. 3	0. 2			
4.0 — 7.9 m/s (%)	0.0	63 0. 5	21 0. 2	47 0. 4	6 0, 0	357 2. 8	161 1, 3	201 1. 6	30 0. 2	279 2. 2	74 0. 6	239 1, 9	45 0. 4	199 1. 6	97 0. 8	539 4. 2	24 0. 2	2, 382	18. 8	97. 0
8.0 — 12.9 m/s	0	3	1	1	1	20	13	36	15	109	27	69	6	15	. 1 0	16	0	333 25	2, 6 0, 2	99. 6 99. 8
13.0 — 16.9 m/s 17.0 — Max m/s	0.0	0 0 0. 0	0.0	0 1 0.0	0 0 0.0	1 0.2	0 3 0.1	5 6 0.3	0.1	0	0. 2	0.5	0.0	0.1	0.0	5	0.0	19	0, 2	100. 0
(%) Total	1, 450	781	436	1, 172	183	2, 533	600	790	120	739	245	728	210	776	243	1, 584	108	12, 698		
Percent	11.4	6. 2	3. 4	9. 2	1.4	19. 9	4.7	6. 2	0.9	5. 8	1.9	5. 7	1.7	6.1	1.9	12.5	0.9			100, 0

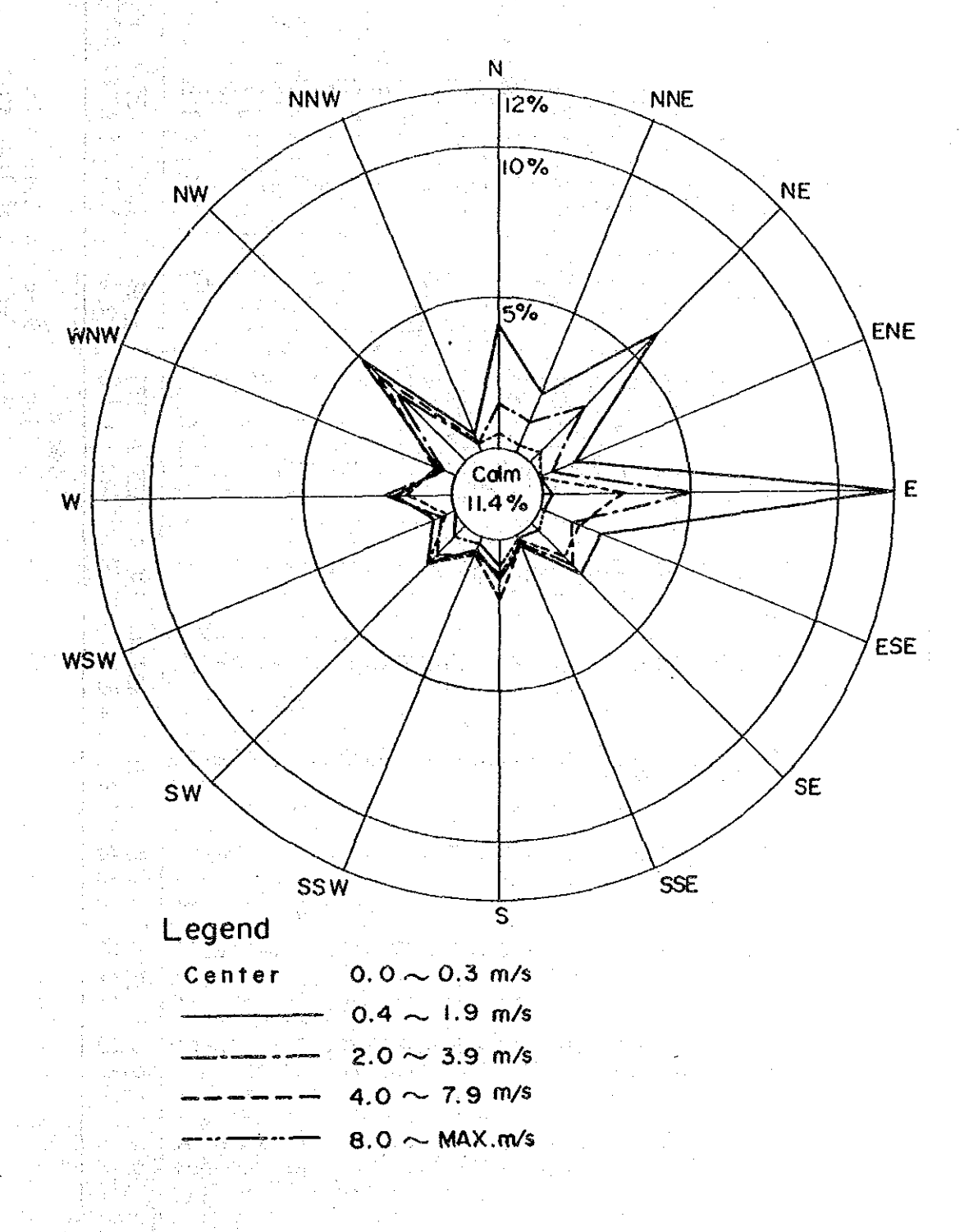
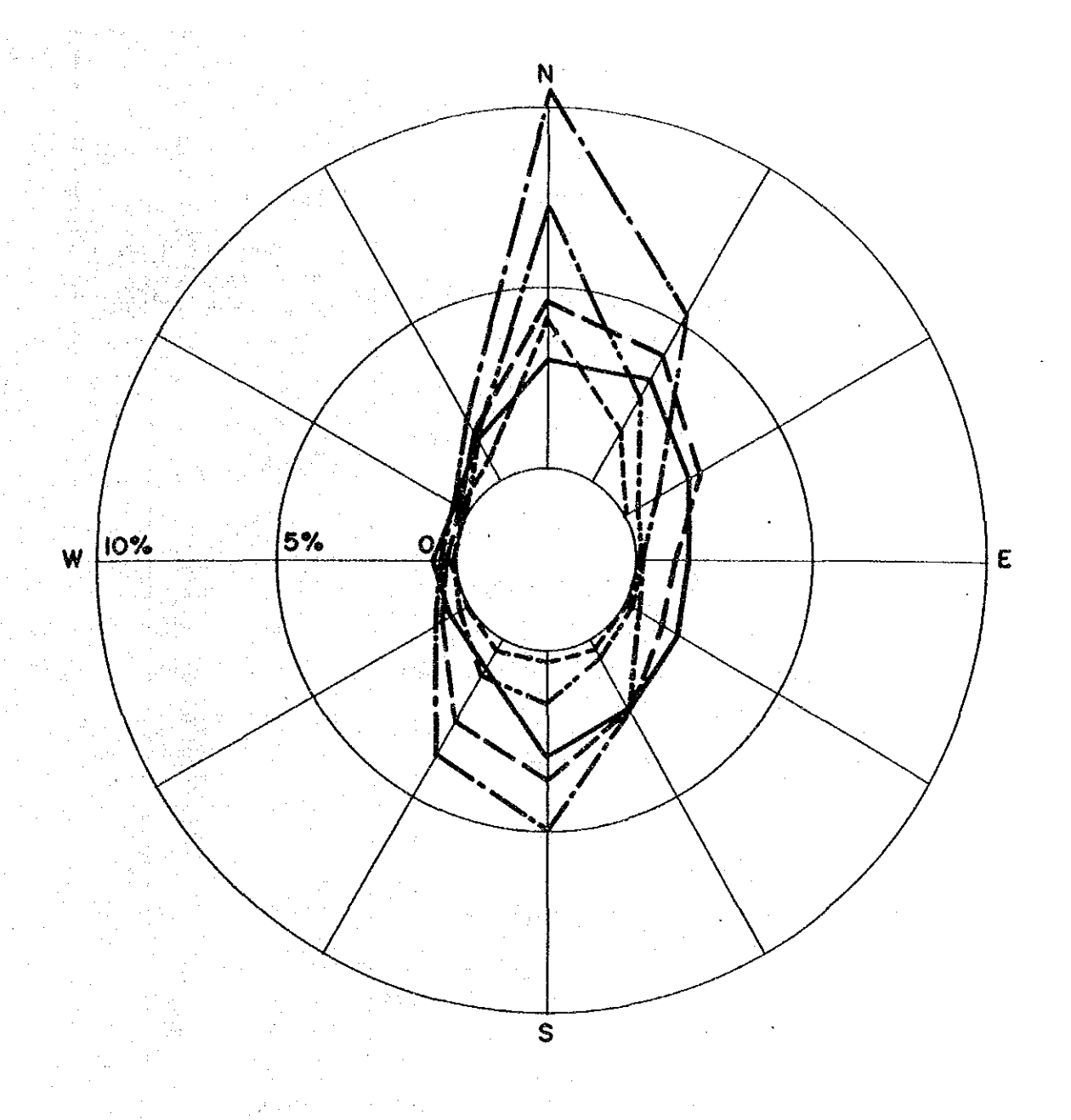


Fig. 6.2-3 Distribution Diagram of Wind Direction and Speed (Iba)

Table 6.2-4 Frequency Distribution of Wave Height on South China Sea

				-		Wave D	Direction	 		. *		-	
Calm	Z			3			S			28			ומנ
0, 25	49	27	43	28		98	45	19	တ	တ	13	34	364
	(8.0)	(0,8)	C 0.7	( 0.5)	(0.5)	(9.0)	(0.7)	(0.3)	(0.1)	( 0, 1)	(0.2)	(0,5)	5.83
<b>.</b>	137	22	ထ္ထ	<u>.</u>		8	130	37	<b>53</b>	28	21	20	888
- '	(2,2)	(5.4)	3	9	_	(1.5)	(21)	(9.6)	(0.5)	(0.4)	(03)	600	4.4
0	231	238	46	67		135	219	3	ထ	2	24	66	1,5
	(4.7)	(3,8)	(2.4)			(2.2)	3.5	(2.6)	60)	(0.3)	(0.3)	3	( 24.4
<u>.</u>	346	2.4	63	on!	· .	108	216	136	37	œ	20	5	1, 232
•		6	(0)	0			3	(22	9	33	33	(1)	19.9
2.0	302		24	m	, ,	***	88	<b>&amp;</b>	3	12		<b>1</b> 5	756
) 	6	8	3	(0,0)	0	0.5		(1.0)	0 2	(0)	(0)	6	( 12 4
2.5	259	Ξ	3	-		1	5	₩	-			7	255
i	6 4 2	9	200			( U )	6	E	000	, C U	, ~	8 0	5
3.0	183	93	i Lo		m	13	23	28	•		ırı	28	355
	3.0	0.0	(0.1)	<u> </u>	_	(0,2)	(0.4)	(0.4)	(8.1)	<u> </u>	(0.1)	(0.5)	ru,
in In	106	2	*		0	<b>-</b>	2	00	~	~		₹.	196
	(1.6)	(9,0)	(0,1)	<u> </u>	<u> </u>	~ _	ල ස	(0.1)	_		(0,1)	(0.7)	3.5
<b>-</b>	-29	23		0	0	0	_	LO	****	~	ຕ	<b></b> -	7.0
j.	(1, )	( ii	<u></u>	<u> </u>	<u> </u>	_	_	<u> </u>	<u> </u>	_	_	( g. 1)	1.1
, S	42	33	2		<b>-</b>	<del></del>	m	_	0		~	တ	103
	(0,7)	(0.8)	<u> </u>		<u> </u>		_	(0.1)	<u> </u>	_	_	(0.1)	5
5.0	ထ	<del>,</del>			<b>-</b>	<b>=</b>	***	<b>C</b>	0		<b>=</b>	2	23
28.83 28.73 27.73	(0,1)	<u> </u>	~ ~	_	_	<u> </u>	_	_	_	_	<u>-</u>	( 0.2 ( 0.2	
7. V	<u>(</u>	cc	ണ്ട ന		_	m	<b>—</b>			~	· •	ca ca	70
	(9,0)	(0.7)	(0.1)				_	_	~		<u> </u>	(0.3)	( 1.1)
Total	7,825	1,029	373	176	197	ee 6	239	238		<u>چ</u>	<u></u>	427	6, 134

Remark Upper : Number of Observation Lower : Per Cent of Occurrence



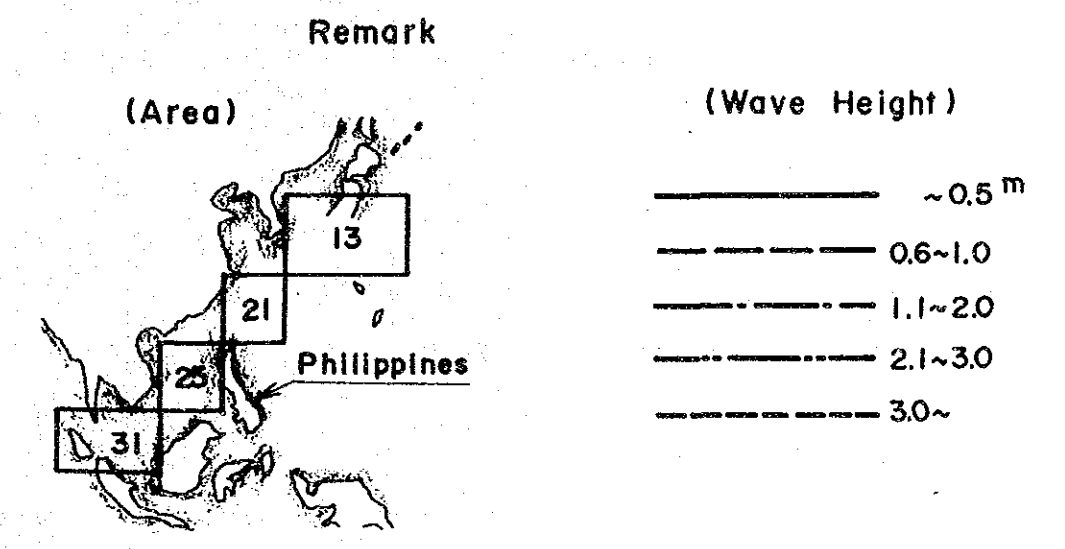
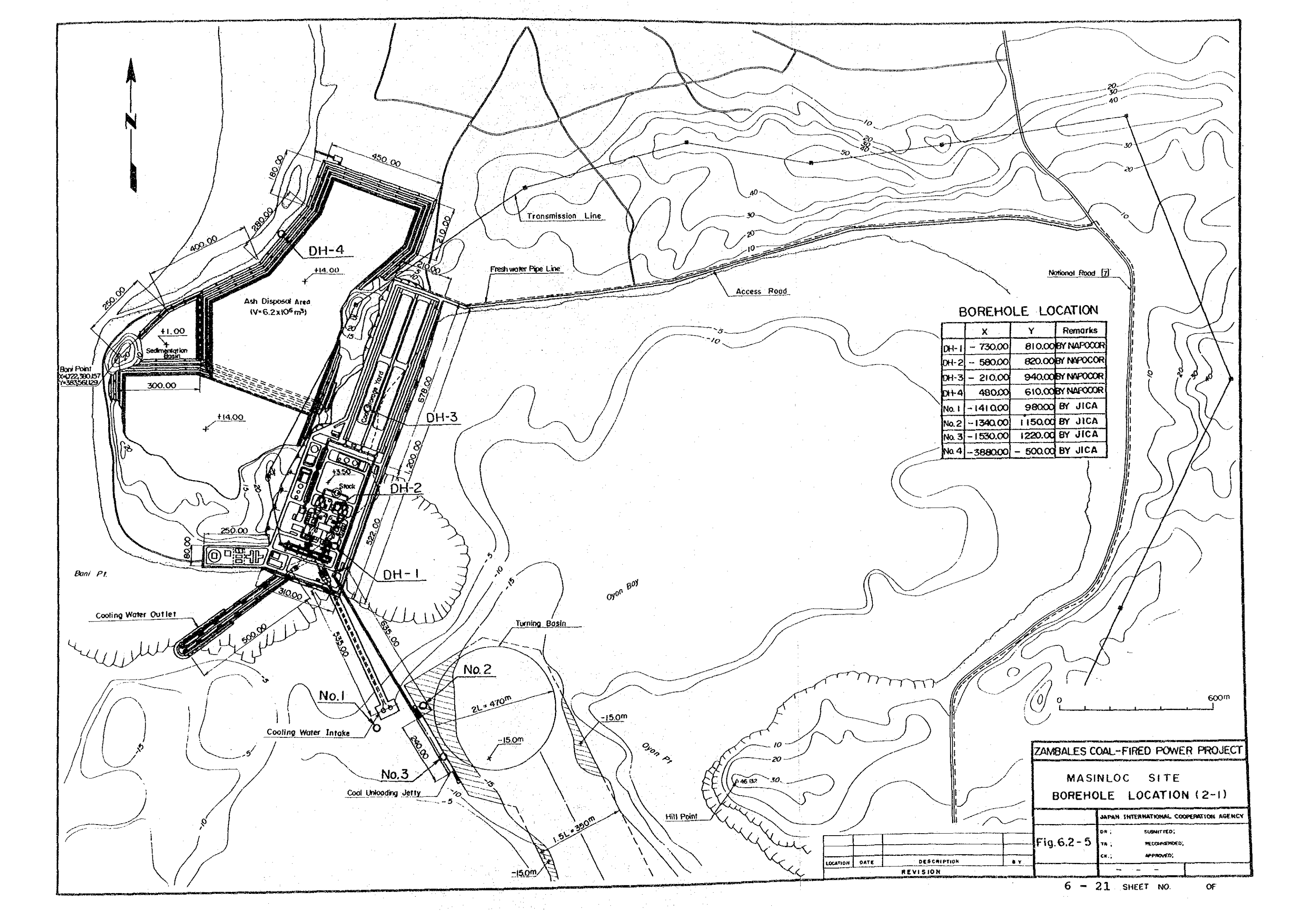
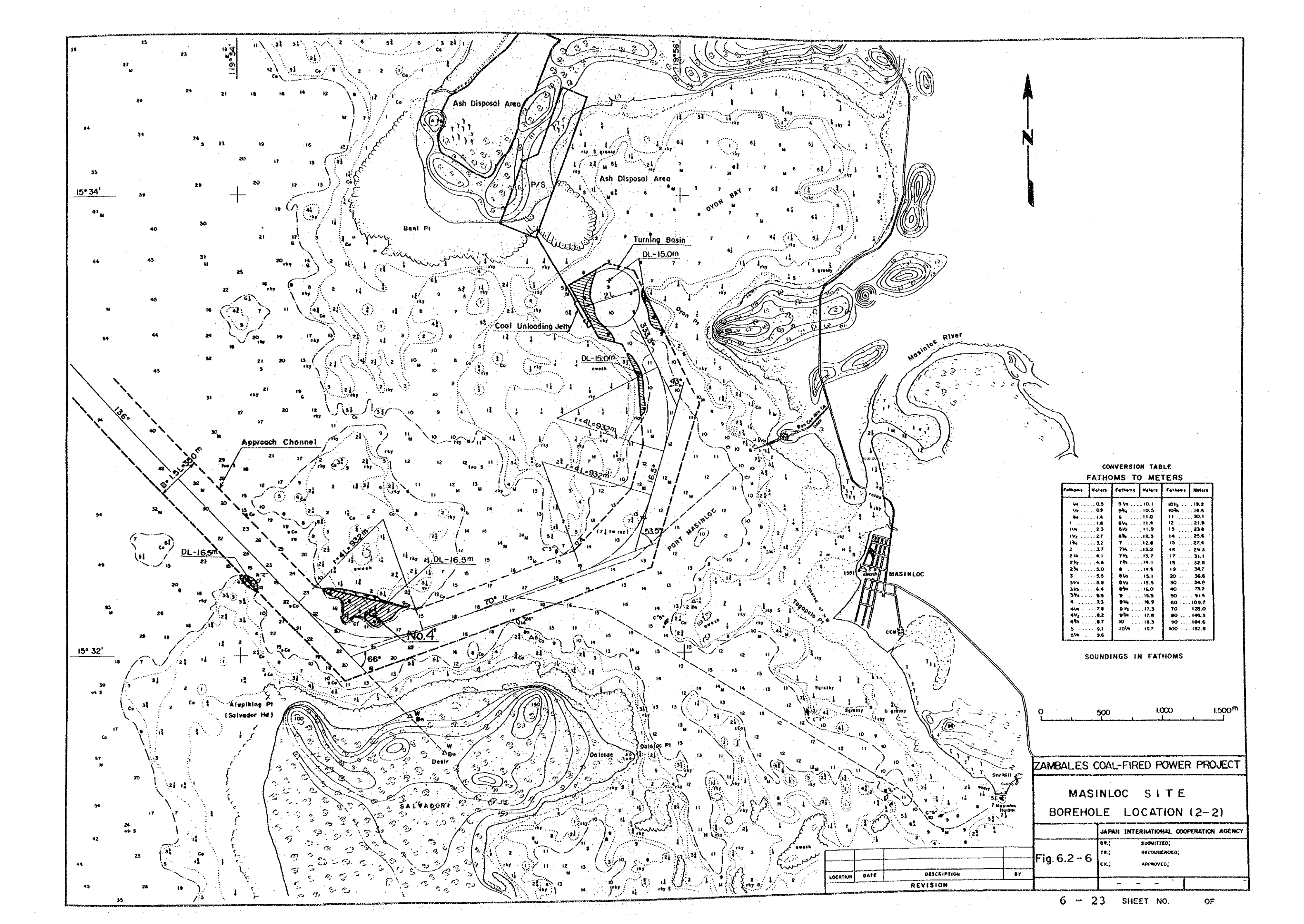


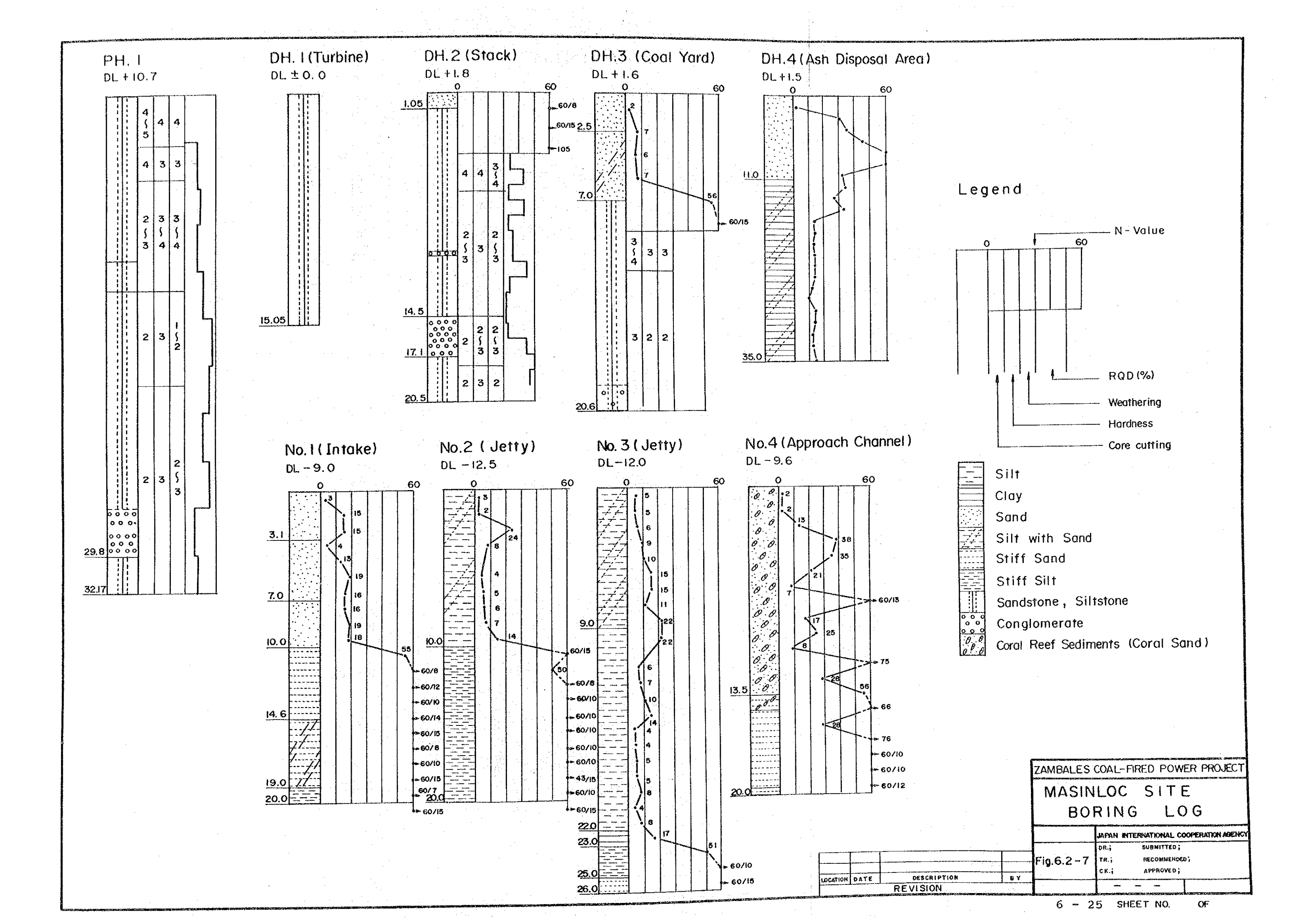
Fig.6.2-4 Distribution Diagram of Wave Height on South China Sea (Area 25)

Table 6.2-5 Stratigraphy in the Zambles Range

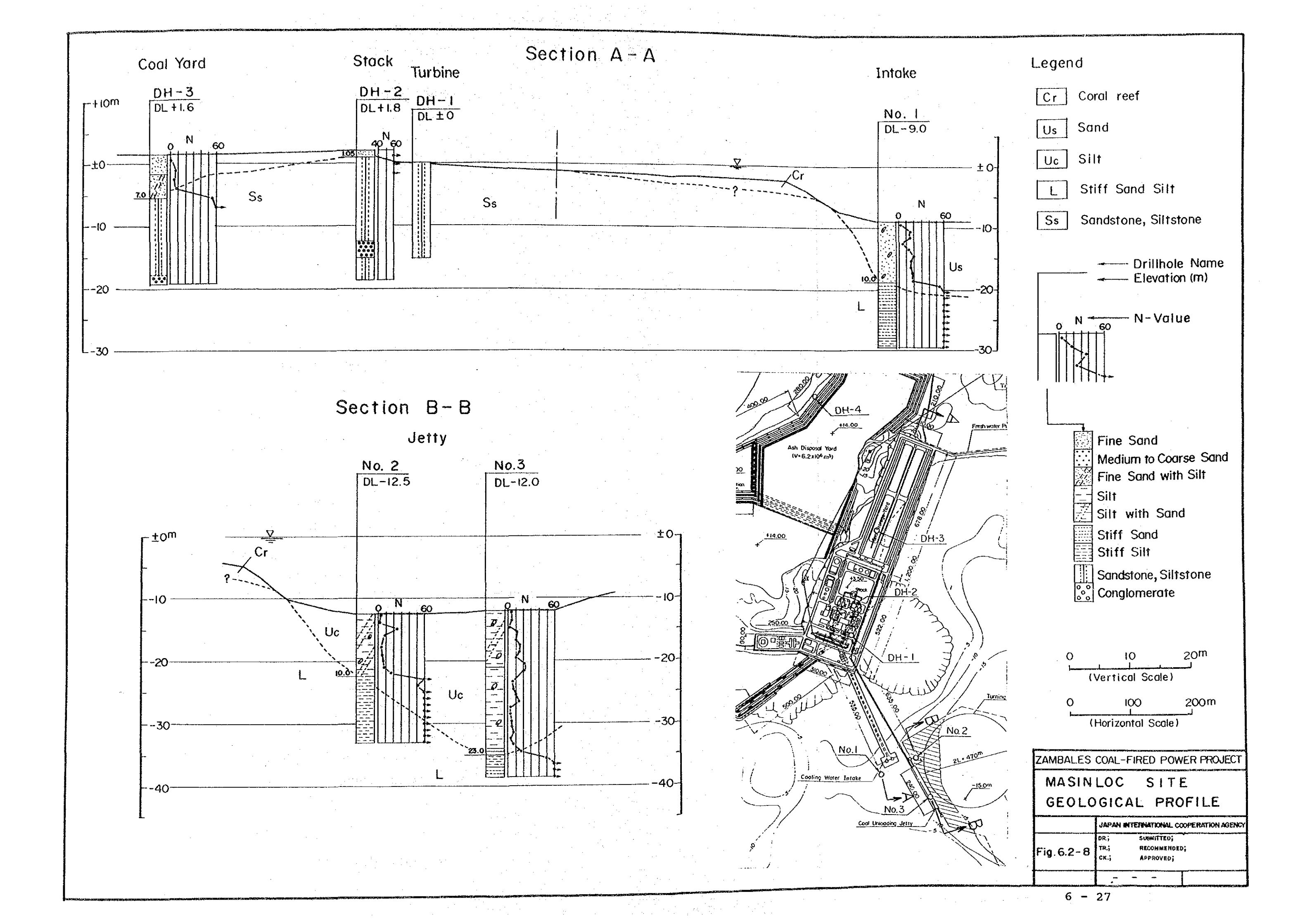
		Geologi	c Time	oour c	Resources of the Philippines, 1986
Million Years	Era	Period	Epoch	Age	
0.1		r na ry	Holocene		Terrace Gravel
. 01 -	Ce no zo ic	Qu at er na ry	Pleistocene	Late	
1.8			Pliocene	Early Late	
5.0			111000110	Early Lat	Sta Cruz Formation
•			Miocene	Middle	Zambales Pormation
22.5 -		Te rt ia ry		Barly	
		Tert	Oligocene	Late Early	
38.0				Late	Aksitero Pormation
בר ס			Eocene	Early	Chert
55.0 -			Paleocene	Late	Spilite and Rubble Breccia Diabase
65.0 -				Early	Gabbro Zambales Ultramafics
		Cr	etaceous	Late	
141 -	o ic			Early	
	We so zo		urassic	Lat Middle	
	. <del></del>	υ	us 40010	Early	











# 6.2.2 設計条件および基本諸元

予備設計に使用する設計条件及び基本諸元は現地調査結果およびフィリピンの地域 特性を考慮して以下のとおり決定した。

- i) 気 温 27 ℃
- ii) 相対湿度 79 %
- iii) 風 速

設計風速は "National Structural Code of the Philippines " に準拠して以下 の値を採用した。

風 速 V = 175 km/h ≒ 49 m/s

- iv) 海水温 31 ℃ 最高 35 ℃
- v)潮 位

設計潮位は、海図および潮位表を基に以下の様に決定した。

潮	位	髙さ(m)
最高潮面	(H, H, W, L)	1.6
朔望平均髙潮面	[H. W. L]	1.3
平均水面	[M.S.L]	0.4
基本水準面	(D, L)	±0"
朔望平均低潮面	[L. W. L]	±0
最 低 潮 面	[L. L. W. L]	-0, 5

上記の潮位は基本水準面 (D.L.) を基にした値であり、海の深浅図及び陸の地形 図もこの基本水準面を基に作成している。

#### vi) 地震係数

地震係数は、現地調査等により得られた断層並びに地震歴データによる基盤加速 度の計算結果及び日本の建設省建築研究所の研究報告「世界地震活動地域における 地震危険度 Map」を考慮の上、Iba Fracture断層モデルの平均値 200 gal即ち 0.2 Gを採用する。

本数値はCalaca-1で採用されたものと同じであり、The Association of Structural Engineers of The Philippines (ASEP) 発行の「Seismic Map of The

Philippines」で上記の2地点が同一ゾーン内にある事と合致する。

# vii) 設計波髙

設計波髙は、放水口地点で3m、桟橋・護岸地点で2mとする。なお、6.6に詳細を示す。

# 6.2.3 発電所の運用条件

(3) 定期点検所要日数

発電所の運用条件は、電力需要予測を考慮して決定する。運用条件はプラント設計 に反映されるべき重要な事項でもある。

(1) 単機容量(1基当たり) 300MW

画では、平均値40日を採用した。

- (2) 年間利用率 (ベースロード運用) 70%
- 300MW 級の石炭火力発電所の定期点検日数は、約30日~50日が標準であり、本計

40日

# (4) 事故率 約8%

この値は北米電力信頼度協議会が発表した1976年~1985年に於ける全米の全火力平均値で、本計画はこの値を採用した。この数値により本計画の発電所の事故停止日数と運転可能日数が推定出来る。

#### (5) 年間稼働率

稼働率は365 日(又は8760時間)に対する運転可能日数(又は時間)の比である。

年間稼働率(%) = 
$$\frac{$$
運転可能日数(日) $}{365}$  × 100 =  $\frac{300}{365}$  × 100 = 82.2%

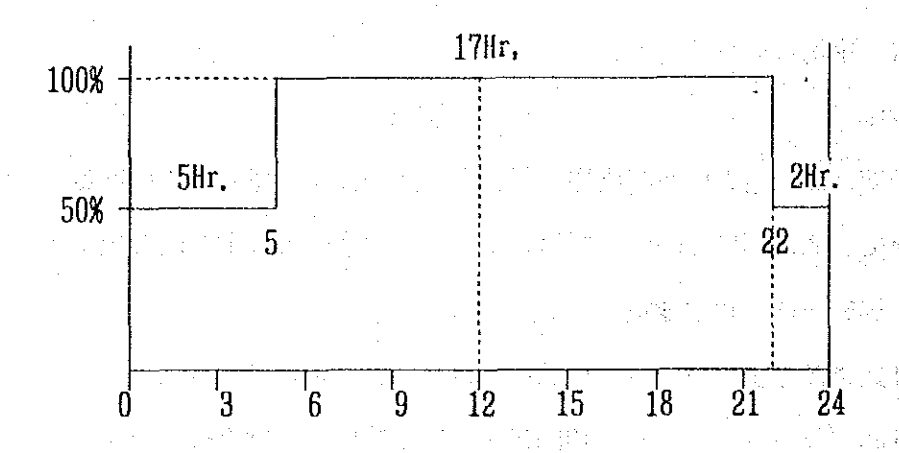
#### (6) 年間負荷率

年間負荷率は、プラントの運転時間内における定格発電量に対する実発電量の比であり、年間利用率および年間稼働率との間に次の関係式が成り立つ。

# (7) 計画負荷パターン

上述の年間負荷率(85.2%)と、ベースロード運用を行う観点から、負荷パターンを想定する。

		24Hr.	i. Hiji Tan Au
50%負荷時間	. 1911 - 1911 - 1911 - 1911 - 1911 - 1911 - 1911 - 1911 - 1911 - 1911 - 1911 - 1911 - 1911 - 1911 - 1911 - 191	7Hr.	
100%負荷時間		17Hr.	



但し、この負荷パターンは、実際の運用に当たっては修正されるものであること は勿論である。

この負荷パターンによる日間負荷率と、年間利用率は次の通りとなる。

日間負荷率 = 
$$\frac{\{17+(7\times0.5)\}\times300\text{MW}}{24\times300\text{MW}}\times100$$
$$=85.4\%$$

# 6.2.4 発電プラントの基本諸元

発電プラントの予備設計に用いる基本諸元は、地点特性(地点条件、自然条件)と 発電所の運用条件を満たすものでなければならない。

言いかえれば、発電プラントの経済的運用を考慮して基本諸元を定める必要がある。

#### (1) 発電プラントのECR とMCR

発電プラントのECR とは、ある基本条件の下で保証された効率を維持しつつ計画 出力による連続運転が可能な状態である。

これに対して、MCR とはECR の基本条件がある範囲または条件で変化した場合でも定格出力 300MWを維持するため、ボイラ蒸発量を増加させることにより定格出力の維持を図る。

この条件をタービンケーパビリティ条件と呼称する。

	定格出力	ターピン ケーバビリティ
ポイラ蒸発量 (t/h) ターピン出力 (MW)	約 930 300	960 300
タービン負荷条件		35
設計海水温度(℃) 復水器真空度(mmHg)	31 695	680
補給水率(%)	1, 0	3.0

一般的にはポイラMCR 時の蒸発量は、ECR 時の蒸発量の約5%を見込む場合もあるが、ここでは実働しているプラントの蒸発量を参考にして、タービンケーパビリティの蒸発量に約3%の余裕を見込んで、最大蒸発量を約990t/hとした。

#### (2) 火力プラントの蒸気条件

火力プラントの蒸気条件は従来の実績を勘案し、標準とされている仕様の中から 選定することが費用、製造工期の観点から得策である。

300MW級の火力発電プラントにおける標準蒸気条件としては、蒸気圧力2,400psi級(169kg/cd)、蒸気温度1,000° F (538℃) ~1,050° F (566℃) である。

上記標準の中から最適な蒸気温度を選定するためにプラント効率、燃料費、設備 費の3項目により経済評価を実施した。その結果、本発電プラントの蒸気条件は下

# 記の通りとする。

蒸気圧力

169 kg/cml

蒸気温度

538 C/538 C

## 蒸気条件と発電プラント経済性の比較結果

項	Ħ	単位	記号	<b>た</b> 算代	Case-1	Case-2	Case-3	Case-4
茂 兹	圧 力	kg/cnl			169	169	169	169
戾 兹	温度	t			538/538	566/538	538/566	566/566
ターピン熱	消費量	kcal/kWh	Α		Base	-15. 3	-15. 8	-31, 0
ブラント熱	消費量	kcal/kWh	В		Base	-17. 0	-17.5	-34, 4
年間発生	医電力量	10 <sup>s</sup> kwh/年	С	300 MW×10° ×8760×0.7	Base	1839. 6	1839, 6	1839, 6
年間燃料	使用量	10°kca1/年	D	C×B	Base	-31273200	-32193000	-63282240
年間,	放料費	百万円/年	E	D×燃料単価	Base	-41	-42	-84
	ききの値換算	百万円	F	a <sub>n</sub> E	Base	-269	-276	-552
設備	費 差	百万円	G		Base	300	300	600
総合額	圣済性	百万円	Н	G+F	Base	31	24	48

プラント出力

: 300 MW

年間利用率

70 %

燃料単価 : 1.32 円/10°kcal 割引率(r) : 15 %

割 引 率 (r) : 15 % 累積現価換算係数(a<sub>n</sub>) : 6.566=((1+r) <sup>n-1</sup>)/(r(1+r) <sup>n</sup>) n = 30

# -(3) 発電プラントの熱効率

発電プラントの熱効率は、ボイラ熱効率、ターピン熱効率、並びにプラント損失 率により算出される。本調査では、下記検討条件の燃料を計画ポイラで燃焼した場 合に、予測される損失を試算し熱効率を算定した。発電プラントの熱効率は、定格 出力時の熱効率と、ある運用条件における運用熱効率を併せて検討した。

# i) 検討条件

・炭種

設計炭 (Semirara炭 50 Wt% : Lemington炭 50 Wt%)

・蒸気条件 169 kg/cm、538 ℃/538 ℃

· 復水器真空度 65 mmHgata

·補給水率 1%

# ii) 定格出力時の発電プラント熱効率

-			-t-L *At/	ntér →.
記	項目	計算式	<u>熱消</u> 百分率	費 率 熱消費率
号	外 口	可矛丸	日 :	然の貝や (kcal/kWh)
a	ボイラ入熱		100	2, 260
b	ボ イ ラ 損 失		12	270
c	プラント損失	(a-b) ×0,02	2	50
d	ターピン入熱	a-(b+c)	- 86	1, 940
e	タービン機械損失		0.2	5
f	発電機損失		0.5	10
g	復水器放散熱損失	e e to lêjt e e ji teey	47. 3	1, 065
h	プラント計	d-(e+f+g)	38	860
ηв	ボイラ熱効率	$\frac{a-b}{a} \times 100$	88	
ηт	タービン熱効率	$\frac{h}{d}$ × 100	44	
ηp	発電端クラント熱効率	$\eta_{B} \times \eta_{T} \times (1-0.02)$	38	

### iii) 運用時の年間発電プラント熱効率

本発電所の年間利用率は70%である。この利用率における年平均熱効率は、下 記の補正係数によって算出できる。

年間利用率による熱効率補正係数

年間利用率	90 %	80 %	70 %	60 <b>%</b>
補正係数	0.98	0.97	0, 96	0, 95

年平均熱効率

$$= 38 \% \times 0.96$$

$$= 36.5 \%$$

この検討においては平均熱効率を36%とした。

### iv) 設備設計に使用する熱効率と石炭消費量

設計熱効率と平均熱効率は検討対象設備によって使い分ける。

#### a. 年間石炭消費量(貯炭場容量の算出など)

年平均熱効率36%を使用する。

· 年間石炭消費量

$$\frac{300,000 \text{ kW} \times 860 \text{ kcal/kwh} \times 8,760 \text{ h/y} \times 0.7}{5,262 \text{ kcal/kg} \times 0.36} \times \frac{1}{1,000}$$

 $= 840,000 \text{ t/y} \cdot \text{unit}$ 

#### b. 時間当り石炭消費量(微粉炭機容量など)

設計熱効率38%を使用し、石炭消費量はMCR の条件で計算する。

・時間当り石炭消費量

$$\frac{300,000 \text{ kW} \times 860 \text{ kcal/kwh}}{5,262 \text{ kcal/kg} \times 0.38} \times \frac{1}{1,000} \times \frac{990}{930}$$

·≒ 138 t/h

# 6.3 発電設備の概要

(2)

# 6.3.1 基本 諸元

		4.3					
: (1)	開	<b>**</b>	規	模	600	MO	$(2 \times 300 \text{ MW})$
(-)	1713	<i>-</i>	,,,,	0,	000		(11 000 1111)

年平均利用率 70%

(5) 主燃料 (石炭)

混炭率 50 % 50 %

Semirara 炭(国内炭)と Lemington炭 (海外炭) は設計基準炭として表示した。

### 6.3.2 土地造成

(1)	敷地面積	合		計	106	ha	
		発	電	所	18	ha	
	1	 貯	炭	場	15	ha	
		灰	摿	場	31	ha	(10年分)
, i	1 1 1 1 1 1	 •					(30年分)

(2) 敷地造成レベル DL+3.5 m

## 6.3.3 港湾設備

(1) 揚炭桟橋

型 先 諸 元

(2) 航

(3) 回頭水域

(4) 航路波渫量

鋼管杭方式

15 5, 500

350 16.5 m 深

470mの円内 . 15 m

900,000

#### 6.3.4 揚運炭・貯炭設備

(1) 揚 炭

型 尤

量

数 量 バケットチエーン式連続アンロー

700 t/h

2 台

(2) 揚炭桟橋ベルトコンベー

容

粂 数 1,600 t/h

1条

(3) 貯炭場移送ベルトコンベヤー

容 量

条 数 1,600 t/h

1条

(4) 貯炭場ペルトコンペヤー

容 量

条 数

(受け入れ)

(払出し)

1,600 t/h

800 t/h/400 t/h

1条

2条

(5) スタッカー

型 太

容 量

数 量 走行旋回式

1,600 t/h

1台

(6) リクレーマー	
型 式	走行旋回、パケット式
	800 t/h
- 1 - 1 - 1 - 1 - 1 - 1 - 1 - 1 - 1 - 1	2 台
(7) 貯 炭 場	
有効面積	$96.600 \text{ m}^2$ ( $615m \times 157m$ )
貯炭容量	300,000 ton 150,000 ton (国内炭) 150,000 ton (海外炭)
- 1 : 1 : 1 : 1 : 1 : 1 : 1 : 1 : 1 : 1	47mW×13mH 2 面
(8) ブルドーザ (貯炭場清掃用)	
型 式	Caterpillar D5 class
台 数	2 台
(9) 払い出しベルトコンペヤー( 貯炭場	場~ 混炭ベルトコンベヤー)
<b>容</b>	800 t/h
条 数	2 条
00 クラッシャー	
型  式	インパクト式
容量	80 t/h
台数	2 台
(1) バンカ送炭コンペヤー(混炭後)	
容量	400 t/h
条 数 (12) 石炭バンカ	2 条
型式	鋼板製ホッパ形
<b>容 量</b>	700 m³/槽
· · · · · · · · · · · · · · · · · · ·	5 槽/unit
投炭方法	ペルトスクレーパ
	_

# 6.3.5 重・軽油貯蔵タンク

14	A CASA L	Hela - Ste		٠.	
(1)	)里畑	貯蔵	ッ	~	1

型式

容量

数量

(2) 軽油貯蔵タンク

型式

容量

数 量

(3) 防油堤

延 長

高さ

鋼板製円筒形コーンルーフ式

4,000 kL

2基(2 unit分)

鋼板製円筒形コーンルーフ式

1,000 kL

1基(2 unit分)

270 m

1,7 m

最大日量 2,600m3

径 250 mm ø

長 10 km

10,000 m<sup>s</sup>

1 基 (2 unit分)

コンクリート堰

百

# 6.3.6 淡水供給設備

- (1) 取 水 量
- (2) 取水設備
- (3) 取 水 管

(4) 淡水タンク

容量

数量

(5) 飲料水ヘッドタンク

容量

数量

1基 (2 unit分)

40 m<sup>3</sup>

(6) 雑用水ヘッドタンク

容量

数量

40 m<sup>a</sup>

1 基 (2 unit分)

(7) 純水装置

型式

容量

数量

2 床 3塔式

500 m³/day 1 系列

2 系列/2 unit

(8) 中和槽

型式

鉄筋コンクリート造

数 量 1 槽/2 unit

(9) 純水タンク

容

 $1,000 \, \mathrm{m}^3$ 

2 基/ 2 unit

(10) 濾過水タンク

1,400 m<sup>3</sup>

容 量

1 基/ 2 unit

数 量

6.3.7 ボイラー設備 (1基当り)

(1) ポイラー

型 太 単胴、屋外式

蒸 発量

(MCR) 990 t/h 930 t/h (ECR)

(2) 節 炭 器

水平式裸管形

(3) 空気予熱器

回転再生式

(4) 蒸気式空気予熱器

水平式フィンチューブ形

(5) スートプロア

型式

電動機駆動蒸気噴射

種類

ロングレトラクタブル デスラッガー エアヒータークリーナー

(6) 通風装置

i)誘引通風機

型式

両吸込ターボ形

容量

16,000 m<sup>3</sup>N/min

数量

2 台

ii)押込通風機

九 型

両吸込ターボ形

量

6,390 m<sup>3</sup>N/min

数量

2 台

# (7) 燃 燃 装 置

i) 給 炭 機

型式

容量

数 量

ii) 微粉炭機

型式

容量

数量

iii) 一次空気ファン

型式

容量

数量

iv) 石炭バーナ

容量

数量

v) 重油噴燃ポンプ

型式

容 量

数量

vi) 重油ヒータ

型式

容量

数量

vii) 重油パーナ

型式

容量

数量

グラビメトリック式

41 t/h

5 台

直接加圧式竪型

41 t/h

5 台

両吸込ターボ形

4,630 m³/min

2 台

8.6 t/h

20 台

**横置スクリュー形** 

38 t/h

2 台

横置U 字管形

38 t/h

1台

蒸気噴霧式

3,5 t/h

12台

# 6.3.8 タービン設備 (1基当り)

(1) ターピン

2 型

タンデムコンパウンド、 2 車室、再熱再生復水式

定格出力 (発電端)

300. MW

蒸気条件

圧力 (MSV 前) 169 kg/cm³g 温度 (MSV) 538 ℃ (RSV) 538 ℃

抽気段数

8 段

排気真空

695 mmHg (31℃において)

回転速度

3,600 rpm

(2) タービン付属設備

調速装置

電気油圧式

保安装置

1 式

油圧制御装置

1 式

潤滑油系統

ターニング装置

1 式

軸 封 装 置

グランド蒸気調整器 グランド蒸気復水器

(3) 復 水 装 置

i) 復 水 器

型式

二折流半区分水室表面冷却式

冷却用海水温度(設計值)

入口 31 ℃出口 39 ℃

冷却水量

41,500  $m^3/h$ 

数量

1 式

	ii)循環水ポンプ	
	型式	立形斜流ポンプ
	容量	22,500 m <sup>3</sup> /h (at 31°c)
•	数量	2 台
	iii)復水器真空ポンプ	
	型式	回転式水封真空ポンプ
	数量	2. 各 1
	iv)復水ポンプ	
	型式	立形遠心式
	容量	390 t/h
	数量	3 🖨
(4)	ボイラ給水装置	
	i ) 低圧給水加熱器	
	型式	U 字管式
	数量	4 基
	ii)脱 気 器	
	型式	横置トレイ形
	数量	1 基
	iii) ポイラ給水ポンプ	
	型式	水平パレル遠心形電動ポンプ
	容量	520 t/h
	数量	3 台
	iv)高圧給水加熱器	
	型式	U 字管式
	数量	3 基
(5)	雑 施 設	
	i) 軸受冷却水ポンプ	
	型式	遠心式
	容量	1,400 t/h
	数量	2 台

大 型 大	表面冷却式
数 量 iii)薬液注入装置	2 基
型式	インジェクション式
薬 品	燐酸、アンモニア、ヒドラジ
iv) 消火設備	
泡消火装置	1 式
水消火装置	1 式
消火ポンプ	1台/2units
v) 天井クレーン	
型式	天井走行式
容量	60 t
数量	1 台
vi) 所内ボイラ	
型式	パッケージ形
蒸気条件	8 kg/cm
容量	5 t/h
燃料	軽油
数量	1 台 / 2 units

(1) 取水口

型式

寸法

(2) 取水管

型式

寸法

深層取水

吞み口径9.0m×2基

埋設鋼管

内 径 3 m 平均長 530 m × 2 lines

(3) ポンプ場 鉄筋コンクリート造 型式 24.6 m 12.7 m 寸法 さ高 ち聂 35 m (4) 送水管 埋設鋼管 **定**型 内 径 1.8 m 平均長 135 m × 4 line/2 unit 寸法 (5) 放水管 型式 2.6 m 寸法 平均長 150 m ×2 line/2 unit (6) 放水槽 鉄筋コンクリート造 **型式** 12 m 寸法 高さ 10.5 m 25 m 長さ (7) 放水口 型式 捨石式傾斜堤 幅 6.0 m 寸法 天端高さ DL + 3.0 m 長さ 500 m Bar, Rotary, Mesh screen (8) 取水口設備

数量 1式

(9) 塩素注入設備 1式 数量

(10) 取水口クレーン

型式 ガントリー式 15 t 容量

1 台/2 unit 数量

# 6.3.10 電気設備 (1 基当り)

- (1) 発電機
  - i)型 式

横軸回転界磁3相、水素冷却

ii)定格

発電機出力 電 圧 (製作者標準) 力 率 短 絡 比 334,000 kVA 18 ~24 kV 90 % 0.58

iii) 励磁装置

サイリスタ (含ブラシレス)

- (2) 主 変 圧 器
  - i)型 式
  - ii) 定 格 容 量 電 圧

屋外3相、油循環、強制空冷

320,000 kVA  $18 \sim 24 /230$  kV

iii)結線方式

Δ-Y直接接地 30度遅れ

- (3) 所内変圧器
  - i)型 式 ii)定 格

ii) 定 格 容 量 電 圧 屋外3相、油入空冷

30,000 kVA 18 to 24 / 6.9 kV

 $\Delta - \Delta$ 

- iii)結線方式
- (4) 起動変圧器
  - i)型 式

ii) 定 格 **雪** 電 圧

屋外3相、油循環、強制空冷

40,000 kVA 230/6.9 kV

- iii) 結線方式
  - かロルスノブエマ
- (5) 開閉所
  - i)方式

屋外2 重母線

ii) 遮断器

型式

定格

碍子型、空気遮断器

Y- Δ (30度進み)

242 kV, 2,000A 遮断電流 31.5kA

4 組 (2 unit当り)

数量

iii)斯路器

五 型 式

碍子型

鉄構、母線、PT、CT、他 iv) そ の 他 (6) 6,9 kvメタルクラッド遮断器 i)型 式 屋内装甲開閉装置 ii) 旅 断 器 SFe 遮断器 力 型 式 6.9 kV 遊断電流 40 kA 7 組/2 unit iii)数量 (7) 460 V パワーセンター 室内形、単線密閉形 i) キュービクルタイプ ii) 旅 断 器 600 V 11 組 iii)数量 (8) 460 V コントロールセンター 室内形、単線密閉形 i )キュービクルタイプ ii) 遮 断 器 空気遮断器 600 V 18 組/2 unit iii)数量 (9) パワーセンター変圧器

i)型 式

ii) 定格

容量

iii) 結線方式

00 非常用電源

i)型 式

ii) 定格

出電力圧率

(A)

乾式屋内3 相

2,000 kVA, 1,500kVA 6,900/460 V

△-Y (30°遅れ)

ディーゼル発電機

500 kVA 460 V 80 %

(11) 直流電源装置	
i)型式	鉛電池
ii) 定 格	125 V 系 2,000AH (無停電装置付) 48 V 系 500AH
02 計装並びに制御	
	) 情報処理システム
i Tanang pagamatan dan pagam Tanang pagamatan dan pagam	i)自動プラント制御システム
	i) 徽粉炭燃焼装置制御システム
iv	y) ポイラ、シーケンス制御システム
v	y) タービン、シーケンス制御システム
6.3.11 灰処理装置(1基当り)	
i) チェーンコンペヤ	
容量	11.7 t/h
数量	1 式
ii) ポトムアッシュクラッシャー	
容量	11.7 t/h
数量	1 式
iii)ポトムアッシュ輸送コンペヤ	
容量	11.7 t/h
数量	1 式
iv) フライアッシュサイロ	
型  式	鋼板製円筒形 サイクロンセパレータ、 バグフィルター、フリューダイザ
容量	1,000 m³
<b>数</b>	1 set
v)真空ブロワ	
	ロータリー式
数量	3 台 / 2 units
vi) ダストレスアンローダ	
容量	110 t/h

量

2 台

#### 6.3.12 発電所本館

(1) 樽 造

基

架 構

外 蛏

根

(2) 寸 法

建築面積

建屋容積

髙さ

6.3.13 煙 尖

> (1) 基 礰

(2) 外 筒

(3) 内 筒

6.3.14 付属建物

(1) サービスビルディング

i ) 構 造

> 基 礎

> 架

ii)延床面積

iii) 部屋配置

1階

2階

(2) その他建物

i) 修理工場

ii) 倉 廊

iii) 運炭制御室

iv) 純水装置室

鉄筋コンクリート造、マット基礎

鉄骨造

アルミパネル

アルミパネル

5,800 m<sup>2</sup>

148,000 m<sup>s</sup>

32 m

鉄筋コンクリート造、マット基礎

 $13\,\,\mathrm{m}$ 

鉄筋コンクリート造、

径径

20 m

さ 120 m 髙

鉄筋コンクリート造、マット基礎

鉄筋コンクリート造

1,600 m<sup>2</sup>

分析室、食堂、休憩室、エアコン室、

倉庫、

事務室、会議室、所長室、ロッカー室、

資料室、

鉄筋コンクリート造 1 floor 500 m²

鉄筋コンクリート造 1 floor 1,000 m<sup>2</sup>

3 floor 1,000 m<sup>2</sup> 鉄筋コンクリート造

鉄筋コンクリート造 1 floor 350 m²

		v) IP 制御室	鉄筋コンクリート造	1 floor 100 m <sup>2</sup>
		vi)塩素注入装置制御室	鉄筋コングリート造	1 floor 120 m²
		vii) Ash silo structure	鉄筋コンクリート造	
		viii) Guest house		
		ix) Domitory	鉄筋コンクリート造	1 floor 1,400 m <sup>2</sup>
		ing displayed by the second of the second		
	6.3.15 £	景境 対策 設備		
	(1)	器室業定定軍		
		型  式	乾 式	
		数量		1 基
		処理ガス量	:	$1.034 \times 10^3$ m³N/h
		入口ガス温度		140°C
		集 塵 効 率		99 % 以上
	(2)	排水処理装置		
	•	型 式	沈緻濾過中	中和式
		数量	1式/2 u	ınit
		処理容量	1,000 m³/	'day
		出口水質	PH 5.5 -	9
	•		SS Oil	200 mg/1以下 15 mg/1以下
•	(3)	貯炭場排水沈殿池		
		型 式	自然沈降元	式
• .		数量	1 式 /2 u	ınit
	(4)	灰捨場排水沈殿池		
		型 式	自然沈降式	式
		数量	1 式 /2 い	nit
:	· · · · · · · · · · · · · · · · · · ·			
		2.144		

#### 6.4 発電所レイアウト

#### 6.4.1 レイアウトの基本構想

Masinloc地点は、北側を丘で遮蔽され、海域はサンゴ礁の浅瀬によって波浪の影響が少なくなる特徴を有している。この地形を利用して発電所をBani Pointのどの位置に配置するか、位置の決定に当って配慮した事項は以下の通りである。

- i) 南および南西方向から侵入する波浪に対する影響を小さくすること。
- ii) 北西から吹く卓越風の影響を小さくすること。
- iii)主要構造物を良好な地盤上に配置すること。
- iv) 復水器冷却用水路および海上ベルトコンベヤの延長をできるだけ短くすること。
- v) 発電所用地が比較的容易に確保できること。
- vi) 航路および泊地が膨大な浚渫なしに確保出来ること。
- vii) 陸上灰捨場が発電所近傍に確保できること。

# 6.4.2 発電所の敷地面積

予備設計条件および基本諸元を基に算出した発電所の敷地面積は以下の通りである。

(1) 発電所用地および貯炭場	329, 000 m³
i)発電所	44,600 m³
ii) 開 閉 所	14.600 m³
iii) タンクヤードおよび水処理ヤード	15,000 m³
iv) 事 務 所	22, 700 m²
v) 貯 炭 場	96,600 m³
vi) 構內道路、緑地、他	135, 500 m²
(2) 灰 捨 場	
10年分	306, 000 m
30年分	727,000 m
10年分	635, 000 m²
合計面積 (30年分	1,056,000 m³

## 6.4.3 構造物および機器の配置

### (1) 発電所および貯炭場

発電所および貯炭場は、波浪および風の影響を小さくするため Bani Point の東側に配置した。又下記の理由により発電所を南側、貯炭場を北側に配置した。

- i) NAPOCOR が実施した陸上ポーリングによると、南側である Bani Point の先端 は岩盤が露出しており、地盤が良好である。このため、重量構造物である発電所 主機を南側に配置出来る。
- ii) 復水器冷却水路の延長を短く出来る。

#### (2) 揚炭桟橋

揚炭桟橋は下記の理由によりDyon湾の入口に配置した。

- i) 桟橋西側にあるサンゴ礁の桟瀬で大部分の波が砕波するため、港の必要静穏度 を確保できる。
- ii)比較的少量の浚渫により桟橋前面に泊地が確保できる。
- iii) 海上ペルトコンベアの延長が比較的短い。

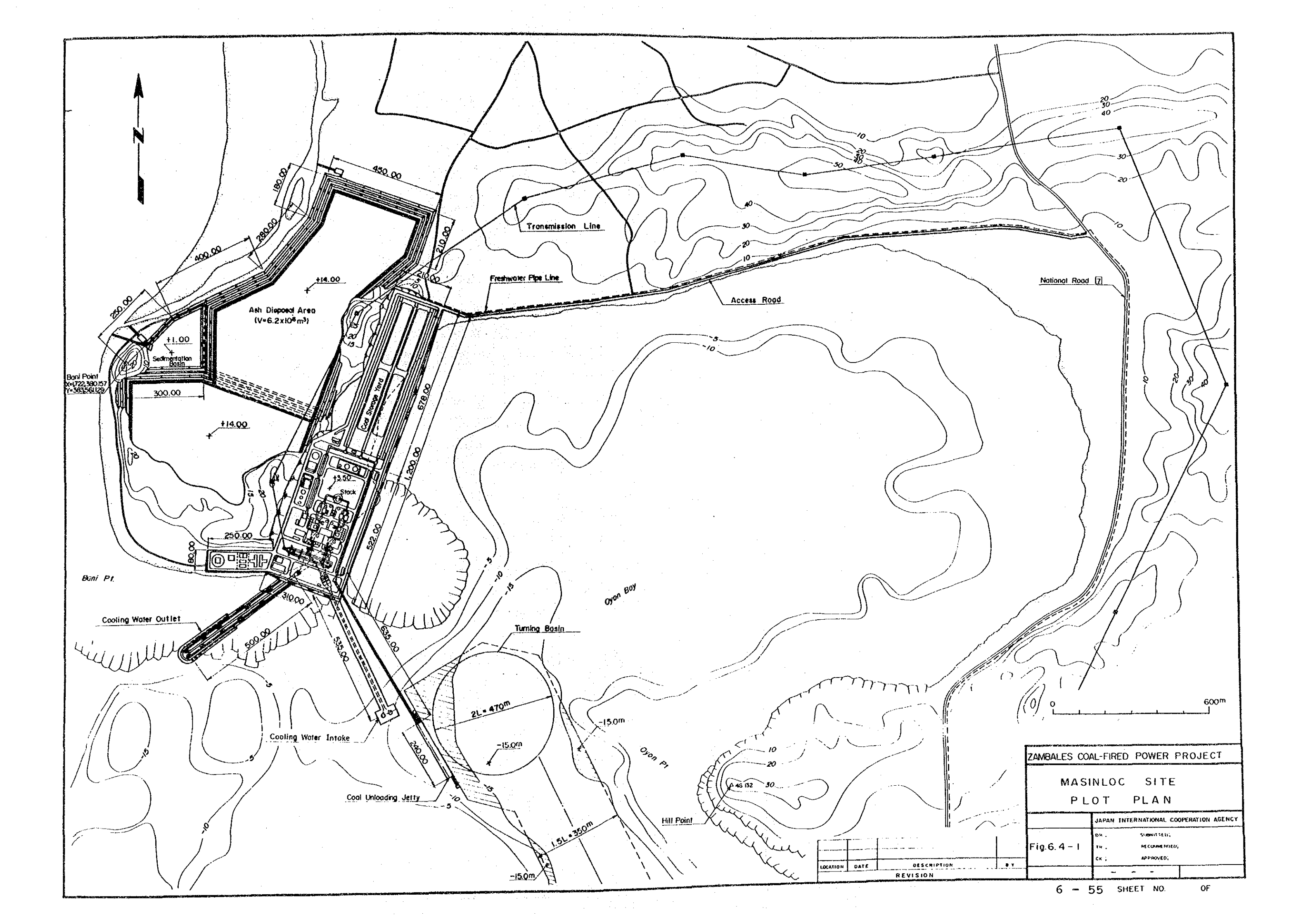
#### (3) 復水器冷却水施設

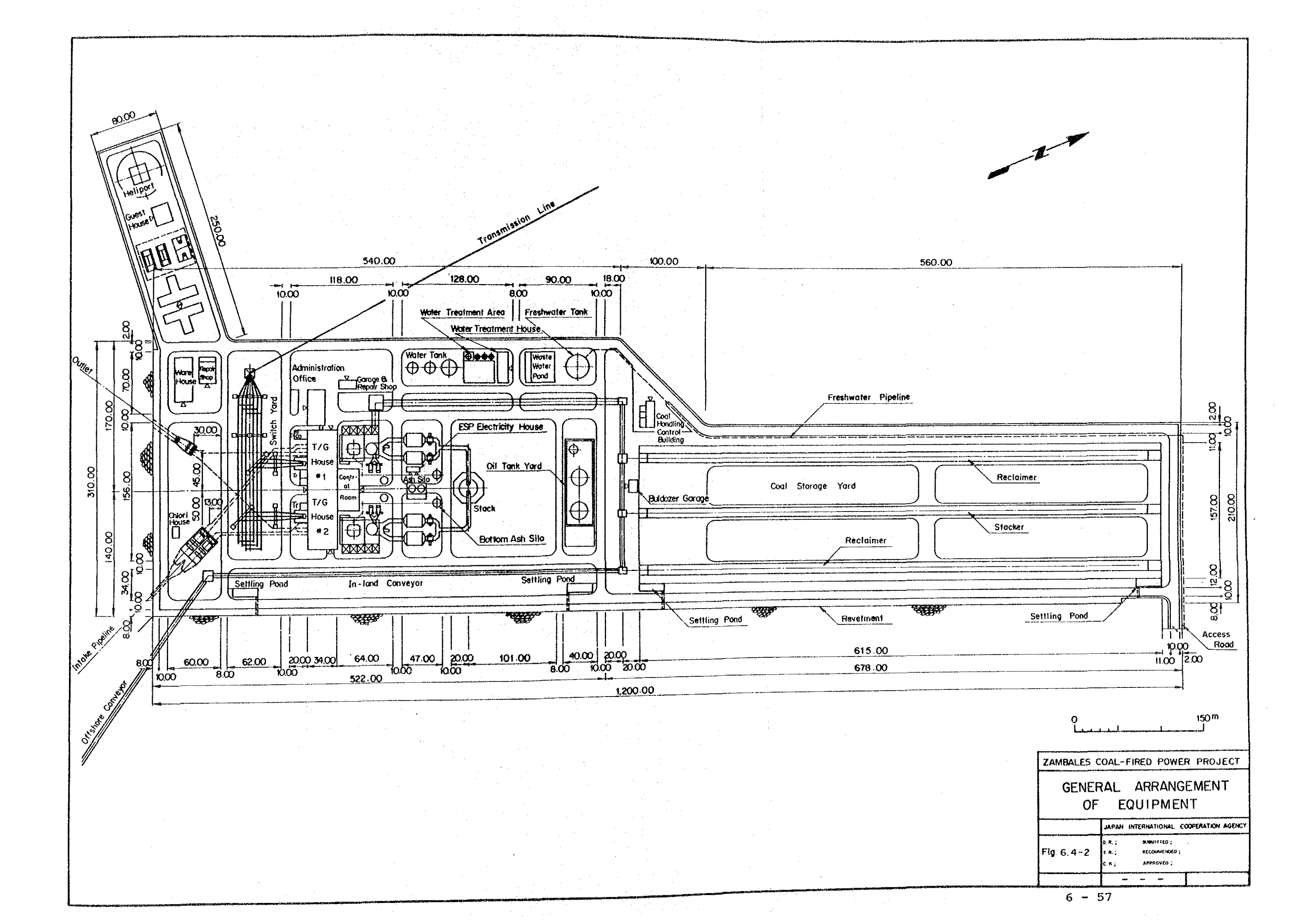
取水口は波浪の影響の小さいDyon湾の入口、桟橋の背面に設置した。

放水口は取水口への温排水の再循環を防ぐ距離を確保し、かつ温排水の拡散効果がより期待できる水深の深い部分であるサンゴ礁の浅瀬の西側に設置した。

#### (4) 灰 捨 場

灰捨場までの運搬距離が短い事および発電所用地西側の丘を灰捨場護岸に利用できる事より発電所の西側に設置した。





## 6.5 発電所用地

### 6.5.1 概 要

敷地造成の設計にあたって考慮した事項は次の通りである。

- i) 本発電所の1号機と2号機の運転開始間隔が半年と短いため、敷地造成は2号機 分まで含めて一括して施工する。
- ii) Bani Point東側の丘陵地の大部分は砂岩と頁岩の互層から成り、盛土材料に適しているのでこの丘陵地を一部掘削し、この材料を用いて、低地およびOyon湾を一部埋立てる事により敷地を確保する。
  - iii) サイト西側の丘陵地は北西からの卓越風の遮蔽効果および陸上灰捨場の築堤として利用できる事から、可能な限り残す事とした。

#### 6.5.2 敷地造成高さ

敷地造成高さは以下に述べる理由から D.L. (Datum Level) +3.50mとした。

- i) 最高潮位 (H, H, W, L) DL + 1,6mから波高および越波に対する余裕を見込んだ高 さとした。
- ii) 朔望平均高潮面 (H, W, L) DL + 1.3mから、発電所構内に設ける側溝の排水勾配を確保できる高さとした。

#### 6.5.3 敷地造成および敷地護岸

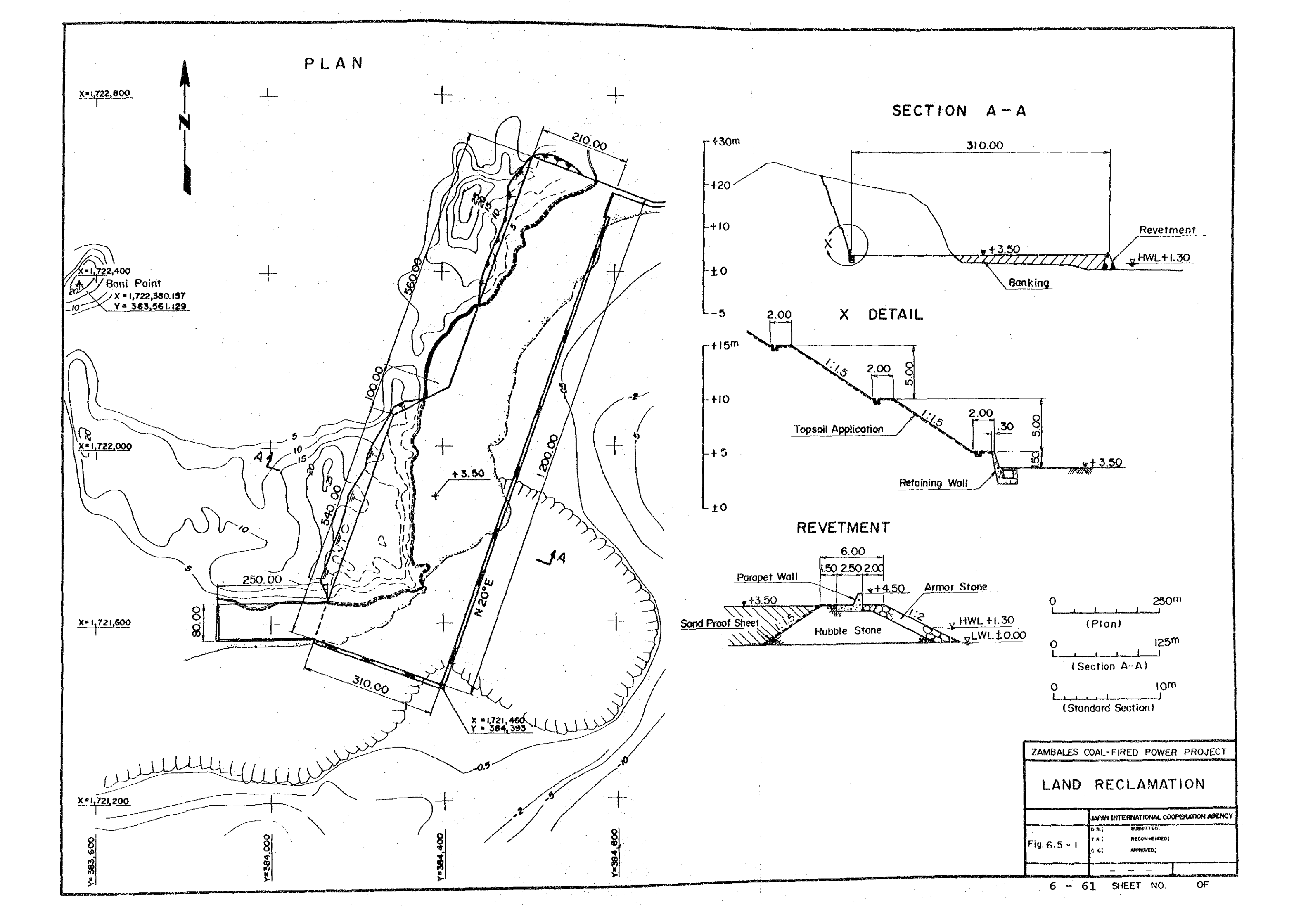
(1) 敷地造成

敷地の位置は、前述の敷地高さ DL + 3.5mで、掘削および盛土の土量バランスを考慮して決定した。又発電所および貯炭場を南北に配置するために敷地の延長をできるだけ短くすべく、ヘリポート、ゲストハスウ等を発電所の西側に別途確保した。掘削数量は約710,000㎡である。

山側の法面は法先にヨウ壁を設け、掘削面は養生土吹付けにより緑化する。

#### (2) 敷地護岸

海上埋立部については、周辺に敷地護岸を設置し、その延長は約 1,400mである。 護岸は捨石式傾斜堤とし、前面に被覆石および堤頭部に越波防止のパラペットを 設けた。



# 6.6 港灣計画

## 6.6.1 基本構想

### (1) 海域の現況

Masinloc地点における海域の特徴並びにこの海域を利用し、石炭を発電所へ輸送・荷卸しする場合の問題を整理すると次の通りである。

- i) 外海から発電所サイトまでの航路は、距離が長く、両側を浅瀬で囲まれ、かつ 3ヶ所に顕著な屈曲が存在する。大型石炭船がこの航路を航行するためには、 連続して針路を変更しなければならず、高度の操船が要求される。
- ii) 現在、最大40,000 DWT級の船舶が既設航路を通り、湾内の2つの港に入出港している。また、漁船も湾内を航行している。今回計画している石炭船は既設航路の大半を利用して航行するので、発電所の運開後、既設航路では従来より船舶の通行量が増加し、また石炭船と他船との出会い・交錯が生じる。
- iii) 発電所サイトは南シナ海から2kmの至近距離にあり、泊地の最大波高及び年間の静穏特性の把握が重要である。なお、潮汐、潮流など他の自然条件は操船上問題はない。(6.2.1 参照)

### (2) 基本構想

- (1)に述べたことを考慮して、次の方針により港湾計画を検討した。
- i) 湾内における大型石炭船の容易かつ標準的な操船を基本とした安全操船を可能 とする航路、泊地、航路標識等を計画する。
  - ii) 湾内における船舶の悪天候時の航行制限を含む新しい航行管理を検討する。
  - iii) 気象データに基づき、泊地の波浪を解析する。

なお、本検討は極めて複雑な海域における港湾計画であるので、海事専門家の協力を得て安全操船の検討を行った。更に次の条件も加味して計画を作成した。

- a) 港湾施設は日本の「港湾の施設の技術上の基準」に準拠する。
  - b) サイトの海底地形は米国製海図による。
  - c) 対象船舶の標準

셺	型	海 外 炭 用 60,000 DWT (Bulk carrier)	国内炭用 5.000 DWT (Bulk carrier)
全 型 型 満 載	長幅深水	233 m 35 m 18 m 12,6m	103 m 15.4m 8.4m 6.8m
年間人	港回数	14	168

### 6.6.2 港湾施設

### (1) レイアウト

# i) 桟 橋

桟橋の位置は下記を考慮し決定した。 (図6.6-1参照)

- a) 石炭船の着桟・離桟及び荷上げに必要となる水域の静穏度が確保できること。
- b) 桟橋と発電所の距離が短く、桟橋及び石炭ベルトコンベヤの建設・運転が容易であること。

### ii) 船まわし場

桟橋の前面水域における船首の回頭を可能とするため、桟橋と Oyon Point の間に船まわし場を配置した。

### ii) 航路

桟橋の位置、湾内の海底地形、従来の大型船の航行実績、航路建設費の低減を 考慮し、湾内における石炭船の航路は、外海から Port Masinlocの前面までは既 設航路を利用し、以降桟橋までは海底の最深部に沿うルートとした。

### iv) 湾内の避泊地

Port Masinlocの沖合では水深22~23m、底質が砂の水域を、またOyon湾の中央部では水深13~14mの水域を避泊地とした。

# (2) 設計

# program ji) 航四路 projekt kita promining

- a) 船舶が行き会う可能性があるので、往復航路とした。
- b) 長い航路ではあるが、比較的少い通行量であり、航路幅は船の全長の 1.5倍 すなわち 350mとした。
- c) 顕著な屈曲部では、航路中心線の曲率半径を船の全長の4倍すなわち 932m とし、航路幅を拡幅した。
  - d) 航路の水深は、基本水準面より下方に60,000 DWTの満載吃水(12.6m) に余裕を加えた16.5m以上とした。この理由は、航路における波・風による船舶の動揺、航行に伴う船体の沈下、底質土および潮面が基本水準面より低下する頻度が比較的多いことを考慮し余裕を設定した。

### ii) 桟橋、船まわし場

- a) 離接岸時の操船の容易さを考慮し、桟橋の法線を接近航路の法線にほぼ平行 とした。(桟橋の構造設計は6.7を参照)
- b) 引船による大型船の回頭を前提とし、(図 6.6-2参照) 船まわし場の水域は 船の全長の2倍(470m) を直径とする円とした。
  - c) 船まわし場、桟橋の水深は、基本水準面より下方に60,000 DWTの満載吃水 (12.6m) に余裕を加えた15m以上とした。この余裕は、これら水域における 船舶の動揺が小さいこと、潮面の状況を考慮し設定した。

#### іі) 航路標識等

浅瀬を示す灯浮標などの航路標識、及び船舶の航行管理に資する波高計、風速 計を設置する必要がある。

### iv) 浚 渫

医动物 美国大学 医电影电影

海図より、上記航路・桟橋・船廻し場を建設するため、数ヶ所で浚渫が必要で ある。地質ボーリング調査によれば、浚渫土は主として砂、シルトと推定される。

## 6.6.3 湾内の航行管理

現在湾内に2つの港があるため、大型船に対する強制水先案内など船舶の航行管理 がなされている。火力発電所を設置する場合、下記に示す船舶の航行管理を追加する 必要がある。

- i) 風速15m以上、波高 1.5m以上、視界1マイル以下の場合、湾内の航路における 船舶の航行制限、船舶の所定避泊地への停泊、ただし今後自然条件・船舶事情に応じ、 再検討が必要である。
- ii) 船舶の夜間航行の禁止、船舶の所定避泊地への停泊。
- iii) 引船の支援による大型石炭船の操船。
- iv) 航行管理を実施する連絡システムの確立と人の配置。

### 6.6.4 静穏度の検討

## (1) 設計波高

発電所サイトは南シナ海から2kmの至近距離にあるので、桟橋・発電所敷地護岸、および放水口地点の設計波高を予測し、これら構造物の安全設計の資料とする。 現地調査により収集した台風記録と波浪解析プログラムを用いて算出した50年確率 設計波高(有義波高)は以下の通りである。

- o 南シナ海の沖波の波高 約 10m
- o 放 水 口 の 波 髙 (湾内) 3 m
- ο 桟橋・護岸の波高(湾内) 2 m

沖波と湾内波との波高の顕著な差は、海岸地形に応じた波の変形、殊に浅瀬による砕波により生じたものである。(表 6.6-1、図 6.6-3参照)

#### (2) 泊地の静穏度

年間消費石炭量を発電所へ安定的に供給するために、揚炭桟橋前面海域(泊地)では下記に示す必要な静穏度が得られなければならない。

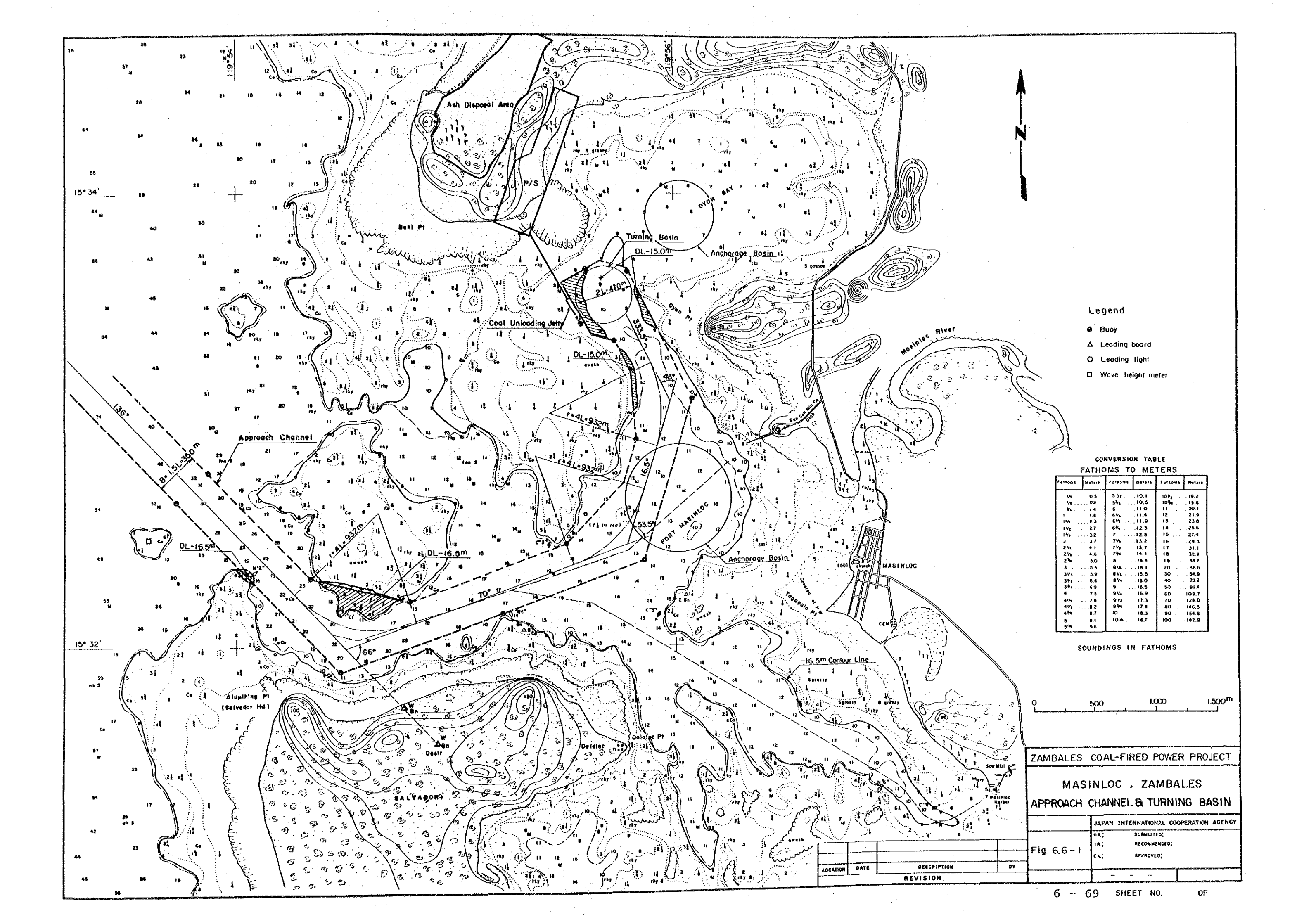
- i) 石炭船の離着桟及び荷役が可能な条件を、前面海域における波高が 0.7m以下 であること、風速が13 m/s未満であることとする。
- ii) 対象とする地点の静穏度とは、気象、海象データを分析し、i) に述べたケースが発生する年間の頻度を表したものである。

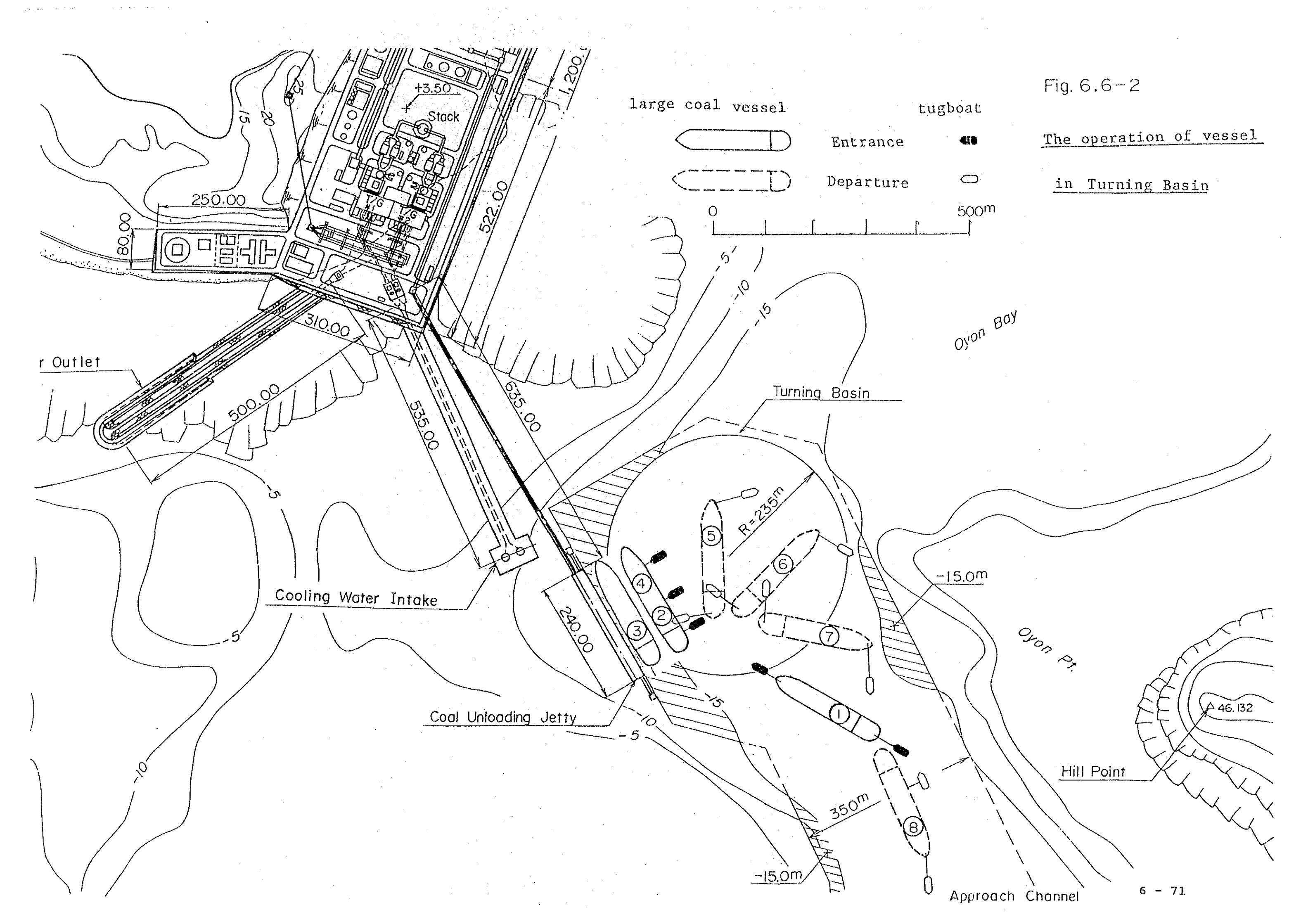
# iii) 必要な静穏度は85%以上とする。

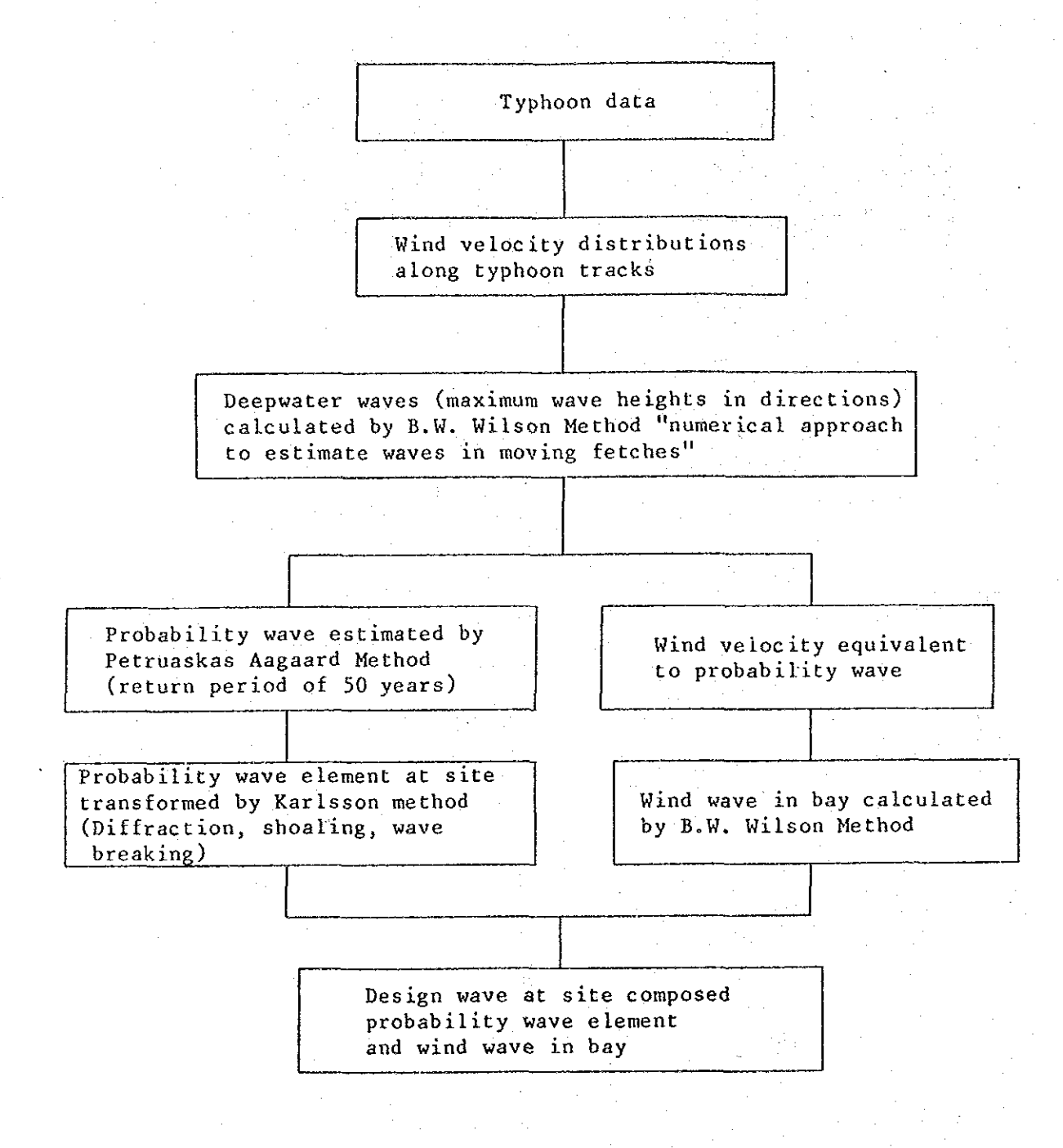
現地調査で収集した日常風記録と静穏度解析プログラムを用い、泊地の静穏度を 予測すると、年平均で96%、各月平均値は概ね85%以上を示す。(表 6.6-2参照) 下記の理由から予測値は妥当と判断され、泊地は石炭を安定的に供給するための 条件を満足する。

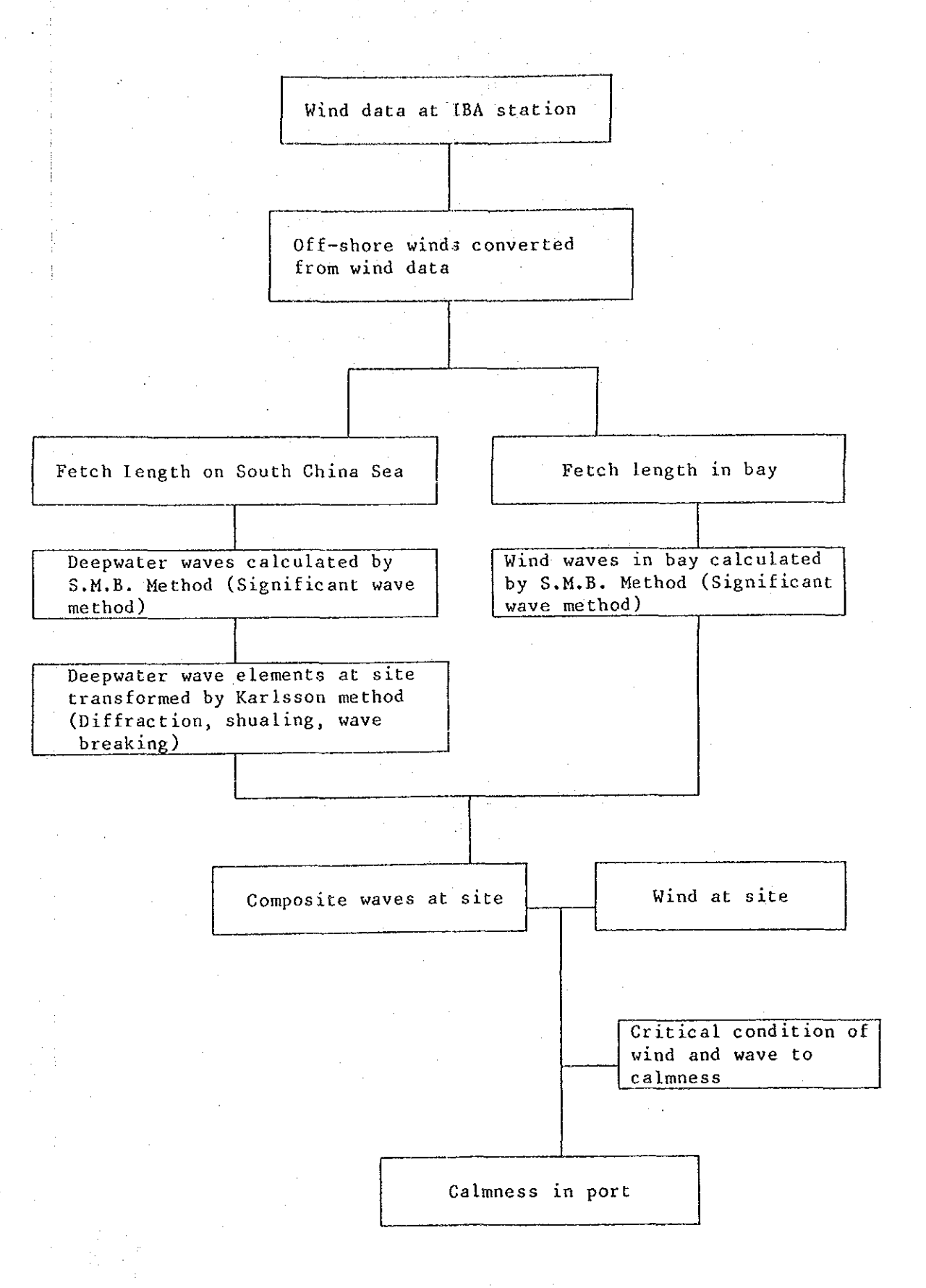
- i) 湾口の形状から、南南西~西方向から侵入する沖波が泊地の静穏性に影響を与えるが、他の方向からの沖波は影響しない。
- ii) 周囲を丘で囲まれた狭い湾内では、日常風により波は十分に発達しない。
- iii) 13 m/s以上の強風の発生頻度は小さい。

なお、設計波及び泊地の静穏度の詳細は、付属資料「Masinloc地点の波浪解析」に示す。









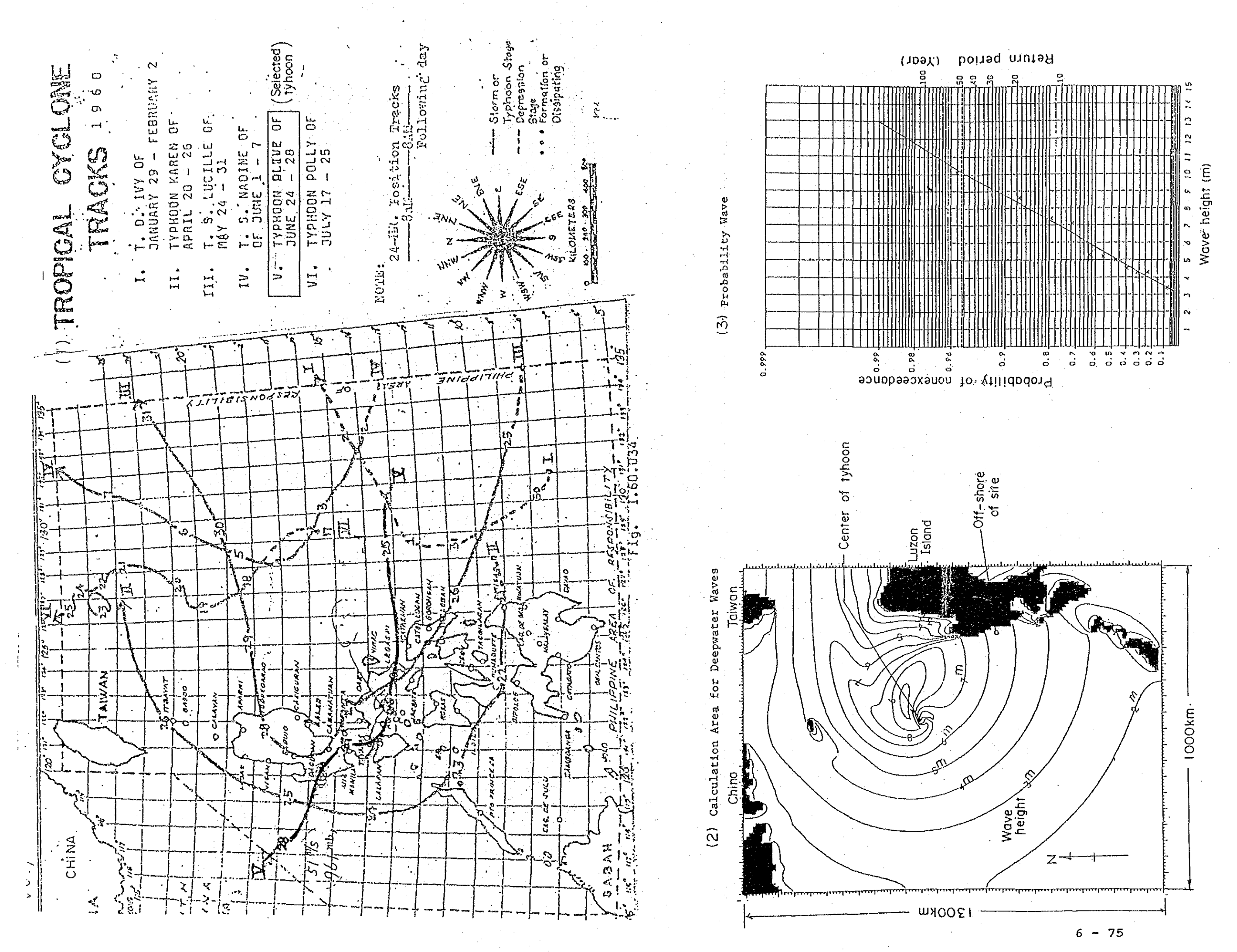
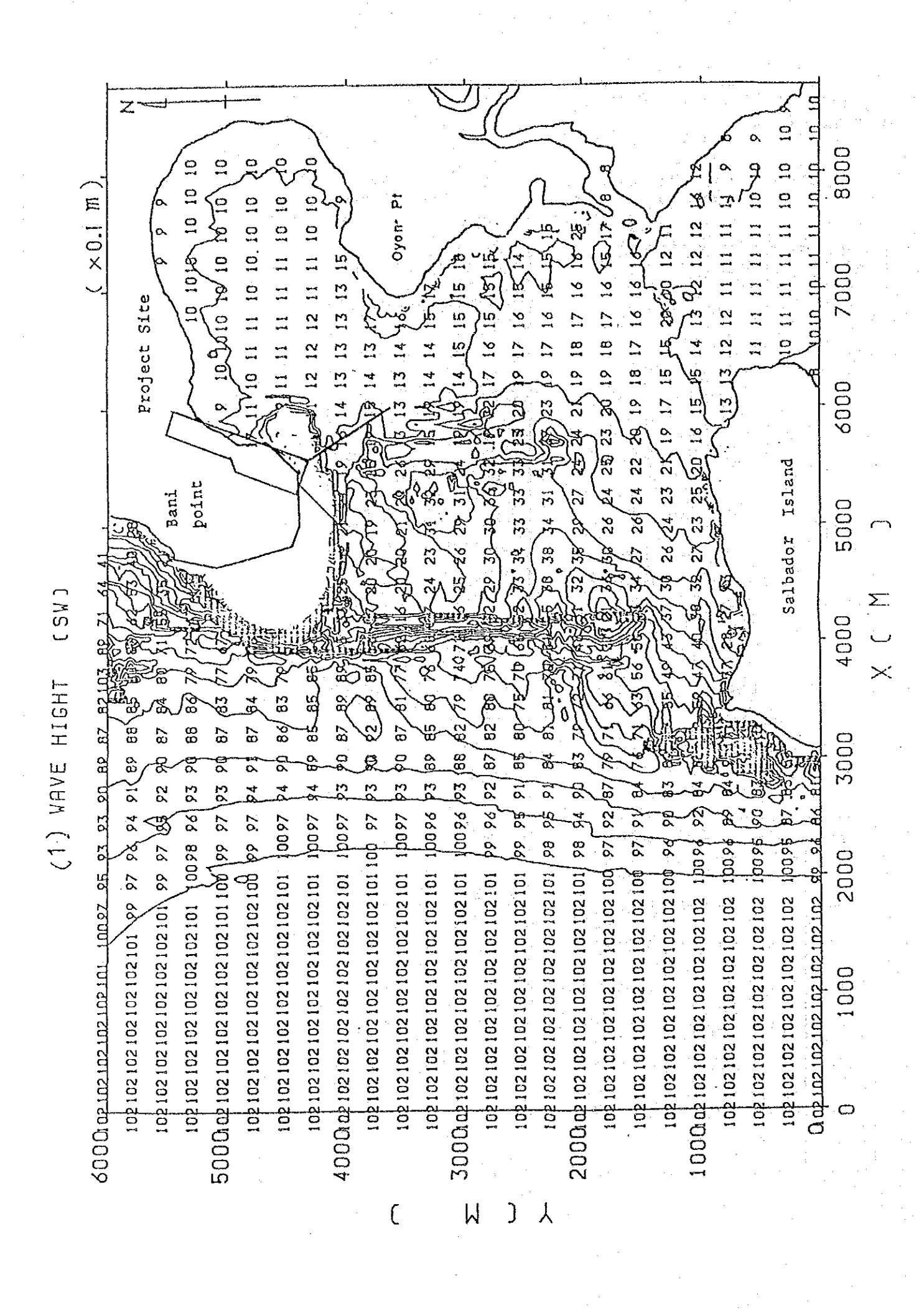
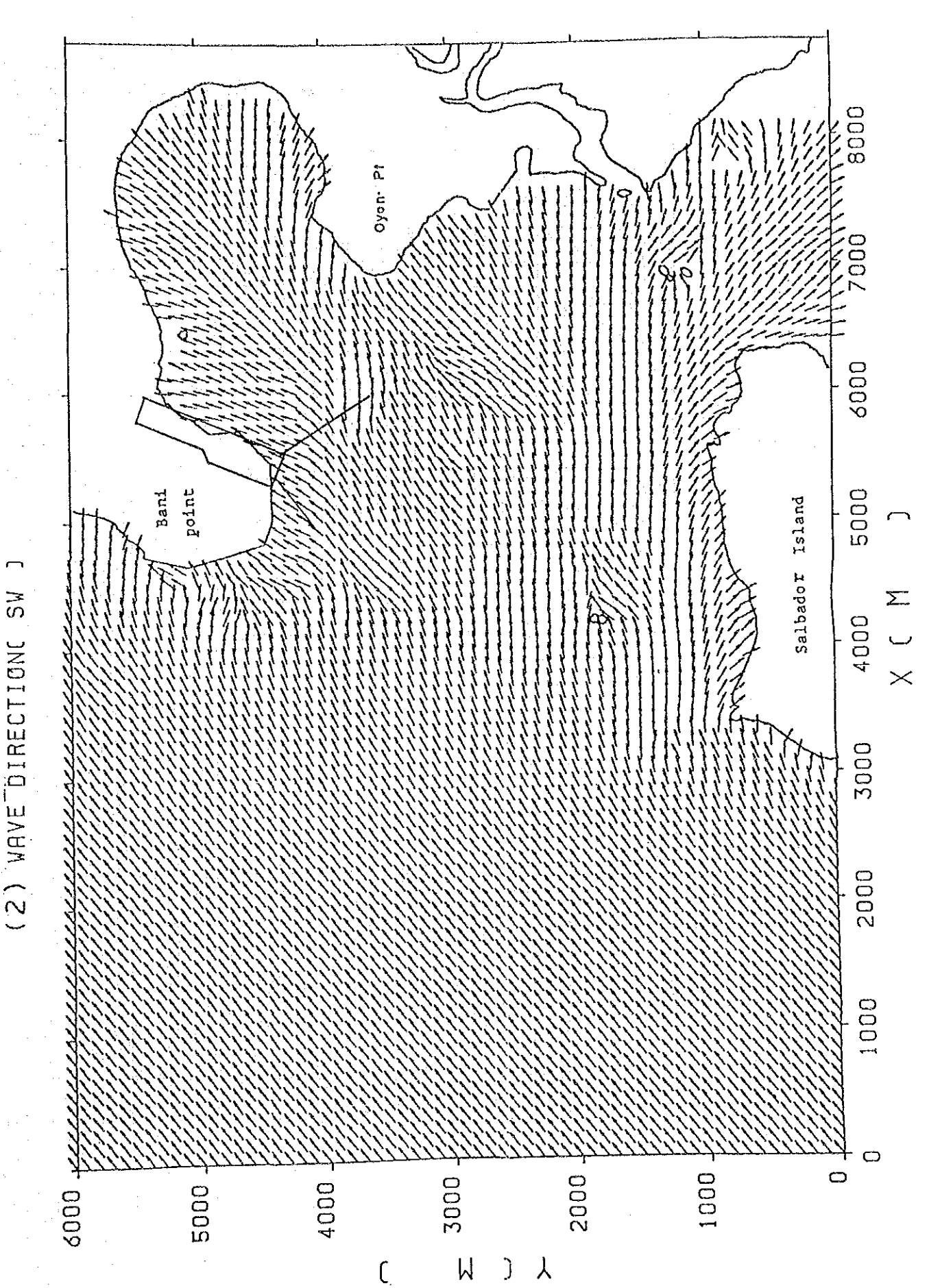


Fig. 6.6-3(1) Calculation Method for Design Wave





on Waves Combined Deepwater Waves (2) Calculation Result with Wind Waves 6.6-Fig.

# Table 6.6-2 (1) Distribution of Wave Heights (Wave Combined Deepwater Wave with Wind Wave in Bay)

LT 0.4

: All direction less than 0.4 m/s

Data period : Jan. 1981 to Dec. 1985

Number of data: 12,698

																		(%)
Wave Height	LT0.40	N	NNE	NE	ENE	E	ESE	SE	SSE	S	ssw	SW	WSW	W	WNW	NW	NNW	TOTAL
0.0 - 0.3 m	11.4	6.2	3.4	9.2	1.4	19.9	4.6	5.8	0.8	3.2	1.1	3.2	1.0	4.3	1.1	10.0	0.8	87.37
0.3 - 0.5 m	0.0	0.0	0.0	0.0	0.0	0.1	0.1	0.3	0.1	1.5	0.3	0.9	0.3	1.0	0.4	1.9	0.0	6.79
0.5 - 0.7 m	0.0	0.0	0.0	0.0	0.0	0.0	0.0	0.0	0.0	0.2	0.2	0.6	0.2	0.3	0.2	0.4	0.0	2.14
0.7 - 1.0 m	0.0	0.0	0.0	0.0	0.0	0.0	0.0	0.0	0.0	0.3	0.1	0.5	0.1	0.4	0.1	01	0.0	1.66
1.0 - 2.0 m	0.0	0.0	0.0	0.0	0.0	0.0	0.0	0.0	0.0	0.7	0.2	0.5	0.1	0.1	0.0	0.0	0.0	1.70
2.0 - 4.0 m	0.0	0.0	0.0	0.0	0.0	0.0	0.0	0.0	0.0	0.0	0.0	0.1	0.0	0.1	0.0	0.0	0.0	0.27
4.0 - MAX m	0.0	0.0	0.0	0.0	0.0	0.0	0.0	0.0	0.0	0.0	0.0	0.0	0.0	0.0	0.0	0.0	0.0	0.07
TOTAL	11.4	6.2	3,4	9.2	1.4	19.9	4.7	6.2	0.9	5.8	1.9	5.7	1.7	6.1	1.9	12.5	0.9	100.00

Table 6.6-2 (2) Calmness in Berthing Basin

Condition for calmness: Wind velocity < 13 m/s, Wave height < 0.7 m

Data period

: Jan. 1981 to Dec. 1985

: 12,698

Number	of data		: 12,	698									(%)
YEAR	JAN	FEB	MAR	APR	MAY	JUN	JUL	AUG	SEP	OCT	NOV	DEC	TOTAL
					· · ·								
1981	94.1	91.1	100.0	100.0	100.0	97.9	91.1	74.6	90.8	96.4	91.7	97.4	93.5
1982	100.0	100.0	100.0	100.0	100.0	100.0	100.0	99.2	100.0	100.0	100.0	100.0	99.9
1983	100.0	100.0	100.0	100.0	100.0	100.0	100.0	100.0	100.0	100.0	100.0	100.0	100.0
1984	100.0	98.3	99.2	98.3	96.8	91.1	96,7	75.4	98.3	95,2	98.7	98.3	95.5
1985	100.0	100.0	98.0	97.5	96.8	71.4	90.7	85.1	93.8	92.7	100.0	98.4	94.0
					·								
TOTAL	98.7	97.6	99.4	99.1	98.5	91.9	95.2	85.4	96.2	96.4	97.9	98.8	96.2

# 6.7 揚運炭·貯炭設備

揚運炭貯炭設備は下記の設備により構成される。

- i) 揚 炭 桟 橋
  - ii) 揚 炭 機
  - ii) 受入コンベヤ
    - iv) 積付 設 備
  - v) 貯 炭 設 備
  - vi) 払 出 設 備
  - vii) 払出コンベヤ

各設備の形式および容量は、取扱う石炭の質、量および気象条件、環境規制等の外部要因によって左右され、これらの条件を満足させる必要がある。以下に予備設計に当っての基本条件を設定し、各設備の形式および容量の検討を行った。

# 6.7.1 検討条件

(1) 年間石炭取扱量

1基時 : 84 万 t

2 基時 : 168 万 t

(2) 石炭消費量

1 基時 : 最大 3,312 t/日 (138 t/h × 24 h)

2 基時 : 最大 6,624 t/日 (138 t/h × 24 h × 2)

(3) バース規模

60,000 DWT級 1バース

(4) 対象船型

60,000 DWT 及び 5,000 DWT

(5) 貯炭量及びパイル列数

貯 炭 量: 約30万t(45日分)

国内炭貯炭量 : 15万 t

海外炭貯炭量 : 15万 t

パイル列数: 2

(6) 作業時間

揚 炭 : 0時~24時 (実働時間:20時間)

払 出 : 8時~22時(実働時間:12時間)

(7) 年間休日計画

揚炭、払出とも休日なし

(8) 年間揚荷可能日数

300 日 (点検10日、荒天55日 (15%))

(9) 発電設備の定検期間

1 基時 : 40日間

2 基時 : 1 U - 40日間

2 U ----40日間

(10) 混 炭 条 件 (14) (14) (14)

2種同時混炭(単味も可能とする)

(1) 石炭性状

見掛比重 : 0.8 t/m'(容量算出時)

0.9 t/m'(荷重算出時)

粒 径: 40mmを超えるもの 20% (最大 100mm)

40~ 2 mm 54%

2 mm未満 26%

湿 分: 最大 29 %

安息角 : 40°

H G I : 最大 50

# 6.7.2 アンローダ

## (1) アンローダ形式の選定

アンローダの形式としては、パケットチェーン式連続アンローダ、水平引込式ア ンローダ、ロープトロリ式橋形アンローダおよびマントロリ式橋形アンローダの4 種類がある。

これ等4種類の比較を付属資料に示す。

最近は荷揚作業の効率化、粉塵及び騒音に対する環境対策に優れること、省力化、 省エネ化、経済性に秀でること等の要望が強くなって来ており、この条件を満足す るものとしては、バケットチェーン式連続アンローダが最適と考えられる。

## (2) アンローダ容量の計算

海外炭は60,000 DWT級の石炭船で、国内炭は 5,000 DWT級の石炭船で海上輸送する。 アンローダは点検・運用を考慮して2台とする。

アンローダの容量は次の2つの観点から計算し、両方を満足する容量を選定する。

- i ) 1 日当りの目標揚炭量(揚ラン)
  - ii)年間取扱量とバース占有率

### i) の方法の計算式

Qt: 1日当りの目標揚炭量

T: 1日当りの揚炭時間(実働時間)

ηw: アンローダ荷役効率

## ii)の方法の計算式

Qy : 年間取扱量

ρt: 目標パース占有率

N : 年間荷役可能日数

# アンローダ容量の計算書

強 線 放	60,000 DWT (外航船)	5,000 DWT (内航船)
アンローダ台数	2 🖶	2 <b>台</b> , 本:
アンローダ形式	連続アンローダ	連続アンローダ
アンローダ荷役効率	0.7 0.7	<b>0.</b> 35
揚ったシン	15,000 t/日	3.000 t/日
1日揚炭時間(実働)	20 h	<b>20 h</b>
揚ランよりの必要 アンローダ 容量	15,000 2台x0.7x20h/日x1日=536t/h	3,000 2 合x0.35x20h/日x1日=214t/h
年 間 取 扱 量	840,000 ton	840,000 ton
年間揚荷可能日数	300日 (休 日 0日) 点 検 10日 悪天候等 55日	300日 点 検 10日 悪天候等 55日
バ - ス 占 有 率	0. 2	<b>0.3</b>
年間取扱量よりの 必要アンローダ容量	840,000t 300日x0.2x2台x0.7x20h/日 =500t/h	840,000t 300日x0.3x2台x0.35x20h/日 =667t/h
必要アンローダ	500 t/h × 2 台	667 t/h × 2 台

必要アンローダ容量は 667 t/h以上であり、従って700 t/h バケットチェーン式連続アンローダ×2台を設置する。

# (3) パース占有率の検証

700 t/h の連続アンローダ2台を設置した場合のバース占有率を検証する。

i) 60,000 DWT#

$$\rho_{E} = \frac{840.000 \text{t/y}}{2 \div 840.000 \text{t/h} \times 0.7 \times 20 \text{h/d} \times 300 \text{d/y}}$$
$$= 0.143$$

ii) 5,000 DWTAN

$$\rho_{D} = \frac{840,000 \text{t/y}}{2 \div 840,000 \text{t/h} \times 0.35 \times 20 \text{h/d} \times 300 \text{d/y}}$$
$$= 0.286$$

iii) 総合バース占有率

$$\rho = \rho_E + \rho_D$$
= 0.143 + 0.286
= 0.429

石炭専用埠頭におけるバース占有率は60%以下とされている。従って、700t/h×2台の連続アンローダで支障なく揚炭できる。

## 6.7.3 揚炭桟橋

(1) 基本条件

揚炭桟橋の予備設計を行う基本条件は以下の通りである。

· 対象船舶 60,000 DWT 石炭船 5,000 DWT 石炭船

500 DWT 油タンカー

·潮 位 H.W.L ; D.L. + 1.3m

L. W. L ; D. L. ± 0.0m

·波 高 H½=2 m

・地震係数 K<sub>H</sub> = 0.20

•風 速 運転時 13 m/sec、 暴風時 49 m/sec

・バース水深 15 m

・アンローダ 台数 2台、 能力 700 t/h

自重 890 t/台

# (2) 地質条件

揚炭桟橋地点でJICAが実施した海上ボーリング№ 2、№ 3の地質断面によると、海底から深度10m~23mまではシルト、粘土が堆積しており、そのN値は3~10で、部分的には砂の混在によりN値は15~24を示している。このシルト、粘土層の下部に暗灰色の細砂又は砂質シルトからなるN値60以上を有する層がありこの層が桟橋の杭の支持層となる。

### (3) 平面配置

対象船舶を安全に桟橋に接岸、係留するために必要となる施設およびその配置は 図6.7-1の通りである。

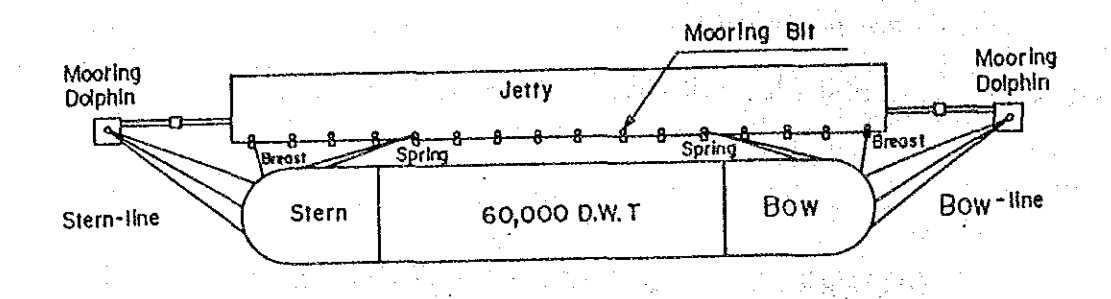


Fig. 6.7-1 Jetty and Coal Vessel Mooring

船首索および船尾索は、船舶の前後への移動の防止および船舶を真横方向に支持するという両方の目的を兼用しているため、桟橋法線に対し角度30°程度で引張る必要がある。船首索および船尾索を固定する部分を本体の桟橋構造物と同様の構造にするのは不経済であるため、この部分は綱取りだけを目的としたドルフィンとした。

桟橋本体の長さは、船長および石炭船のハッチ位置、アンローダの移動範囲等を 考慮し、最大船舶60,000 DWTのほぼ船長に等しい 240mを採用した。

綱取りドルフィンは桟橋より45m離して両端に設け、桟橋と綱取りドルフィンの間は通路を設けた。

なお、5,000 DWT 石炭船および 500 DWT油タンカーは60,000 DWTの接岸してない 時に、桟橋北側に 5,000 DWT、南側に 500 DWTが同時に接岸可能とした。

桟橋の幅は下記の条件を考慮して決定した。

- ・アンローダレールの軌間および荷重条件
- ・設計外力から決定される杭本数および杭間隔
  - ・防舷材およびけい船柱等の附属設備の設置スペース

アンローダレールの軌間は20mであり、上記の条件から桟橋の全幅は25mとした。 桟橋全長 240mから1ブロックの大きさは下記の条件を考慮して決定した。

- ・防舷材を各ブロックの中心に配置した方が、船舶の接岸力を安全に桟橋で負担できる。
- 対象船舶は60,000 DWT、 5,000 DWT、 500 DWTで、この程度の船舶が接岸するのに適する防舷材の間隔は15m程度である。
  - ・桟橋の1ブロックの大きさは、大きいほど船舶接岸力、けん引力などの外力 に対して剛性が大きくなり好ましいが、1日で打設可能なコンクリート量と する必要がある。

以上の条件から1ブロック15m、ブロック数16とした。(図6.7-2参照)

## (4) 構造形式および桟橋天端高さ

桟橋の構造形式は下記の理由により、上部工が鉄筋コンクリート造格子桁構造の 杭式桟橋とし、鋼管杭を使用するものとした。

- ・桟橋構造はアンローダ自重 890 t に耐え、不等沈下が発生しない事が要求される。
  - ・前述の地質条件で述べたとおり、本地点では堆積層が厚いのでケーソンタイプ のような重量構造物は適さないので、N値60以上の層を支持層とする杭構造を 採用した。
  - ・杭機種の選定に当っては、海上で長物の施工が可能で、強固な支持層に十分打 ち込み、杭本体の耐力が大きい鋼管杭を採用した。

桟橋天端高さは、最大波高発生時に、上部エスラブ下面に作用する揚圧力に対してスラブが安全である高さを確保するために、天端高さを0L+5.0 mとした。

以上の点を考慮し、基本条件を基に桟橋の構造計算を行い図6.7-3の標準断面を決定した。

桟橋の鋼管杭の防食対策として、腐食速度が最も大きい海水の飛沫帯および干満 帯は杭表面にモルタルの被覆を行うこととし、また海中部は電気防食用アルミニウ ム合金陽極を用いることとした。

### (5) 付帯設備

桟橋に設置する主な付帯設備は以下の通りである。

### i) 防舷材

ゴム式防舷材を桟橋1ブロックに1個設ける。ただし60,000 DWT船と 500 DWT 船は乾舷の大きさが異なるので、どの船舶にも対応できる防舷材の設置位置および大きさを考慮した。

### ii) けい船柱

桟橋接岸時の船舶の係留のために桟橋1ブロックに1個の曲柱を設ける。又綱取りドルフィン部にも各々1個曲柱を設ける。

### iii)タラップ

船舶から桟橋への昇降設備として桟橋の両端に2ヶ所タラップを設ける。

### 6.7.4 受入コンペヤ設備

#### (1) コンベヤ条数の検討

アンローダとベルトコンベヤの対応方式については、下記の方式がある。

- a. アンローダ1台に対しコンベヤ1条が対応、アンローダ2台に対しコンベヤ 2条を並設する。
- b. アンローダ2台に対しコンペヤ1条のみ設置する。
- c. アンローダ2台に対しコンベヤ1条が対応し、予備としてコンベヤ1条を並設する。

技術の向上によりベルトコンベヤの搬送能力は増加し、4,000t/h以上、ベルト幅も2,000 mm程度のものが多数使用され、信頼性は非常に高くなって来ている。また通常の保守状態においては考えられないが、万一ベルトが破損した場合でも、その復旧は数時間であり、設備の運用に与える影響は軽微と考えられる。

経済性の面では、コンペヤの条数が少ない方が当然優れている。

従って、コンベヤ条数は、b項のアンローダ2台に対しコンベヤ1条を設置する 方式とする。

### (2) 受入コンベヤ能力

i) コンペヤ能力

アンローダ能力が 700 t/hなので、アンローダのピーク率として約1.15倍を考慮して、次のように運搬能力を設定する。

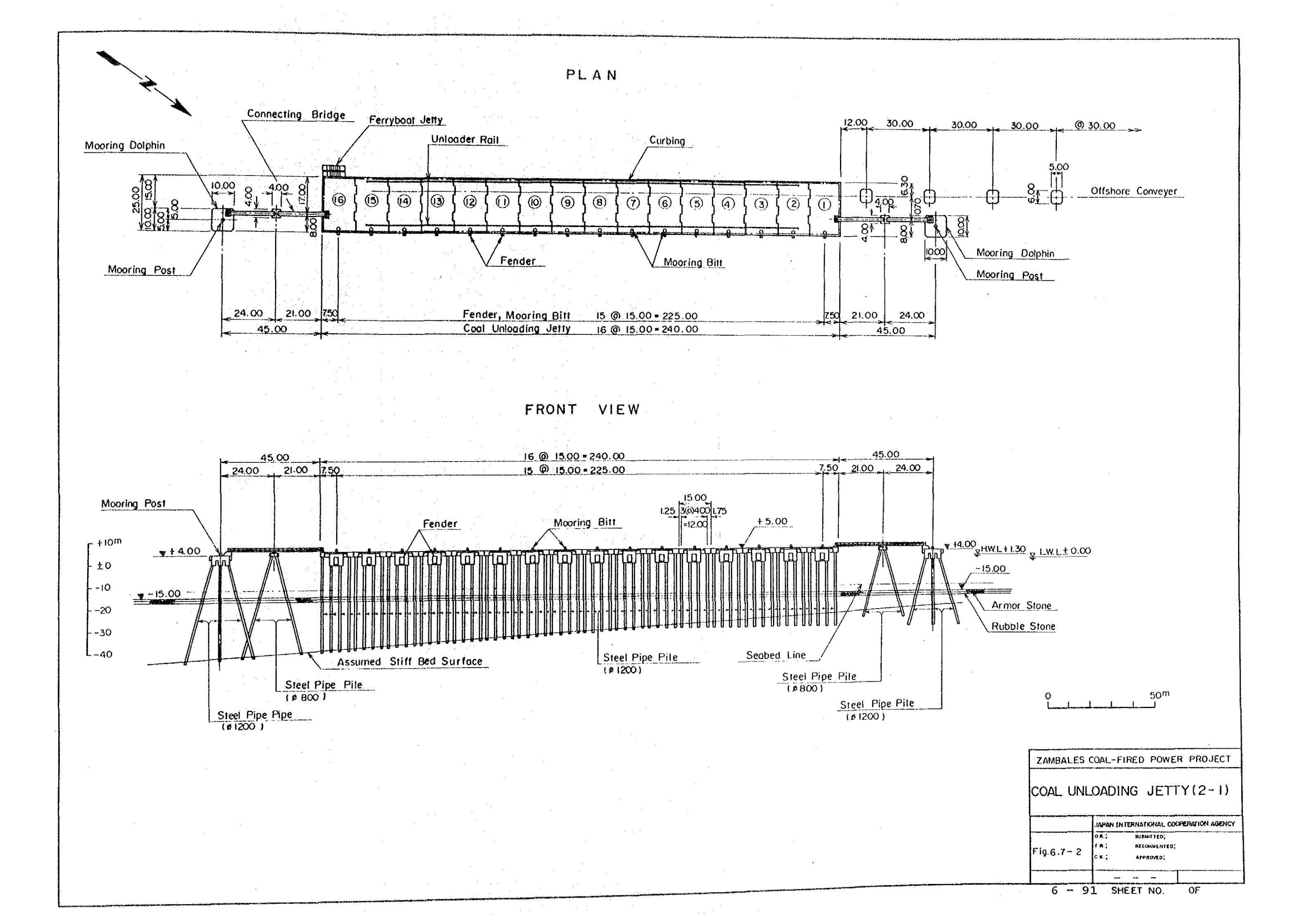
700 t/h × 2台 × 1.15 ≒ 1.600 t/h

### ii)海上コンペヤ基礎

揚炭桟橋で荷上げされた石炭を貯炭場まで運ぶために桟橋と発電所用地を結ぶ 延長 635mに海上コンベヤが設置される。

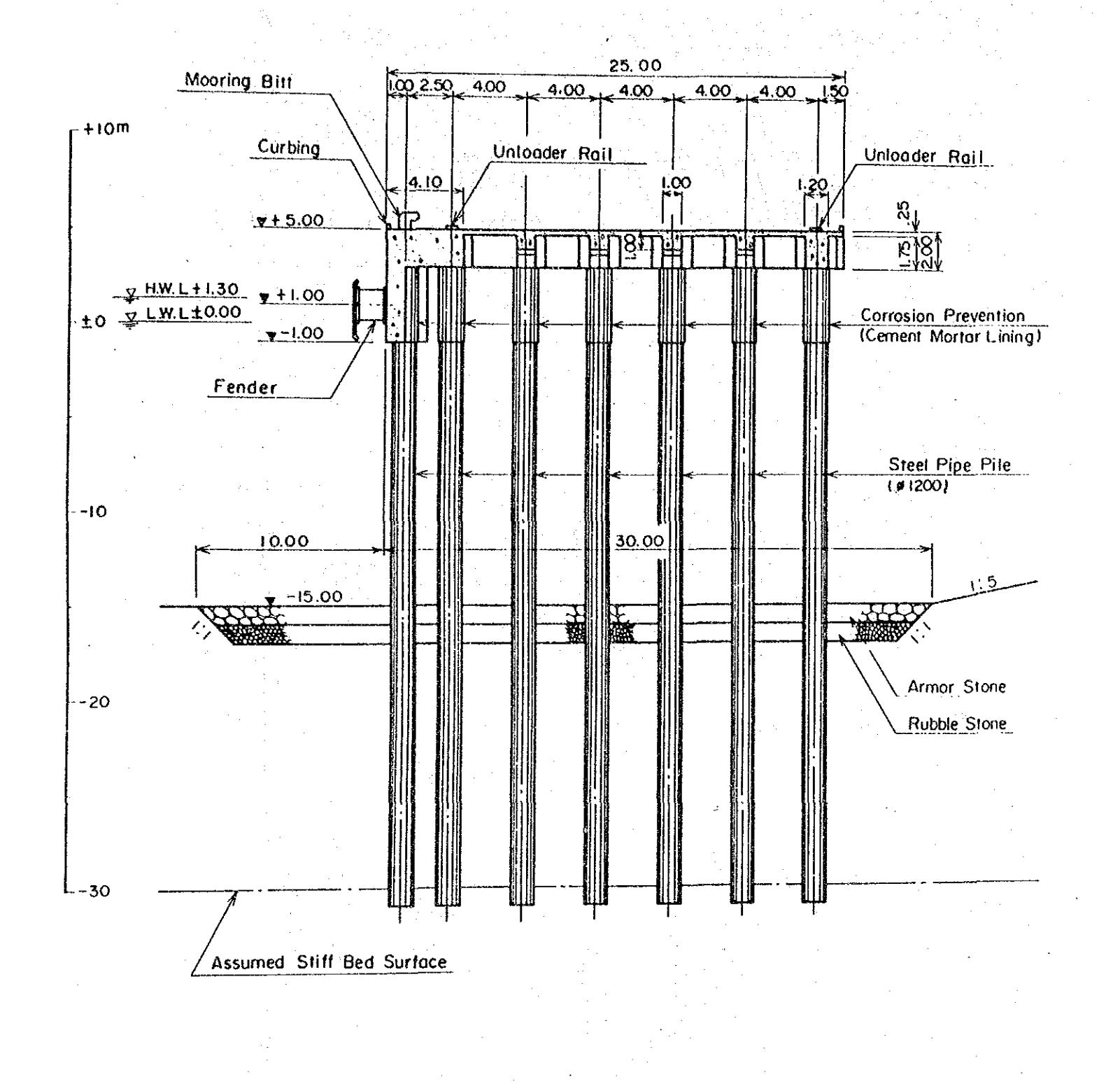
このコンベヤの基礎に作用する荷重は、桟橋と同様に波力、風力、コンベヤの 自重等が作用する。これらの荷重を基に以下の点に留意して断面を決定した。

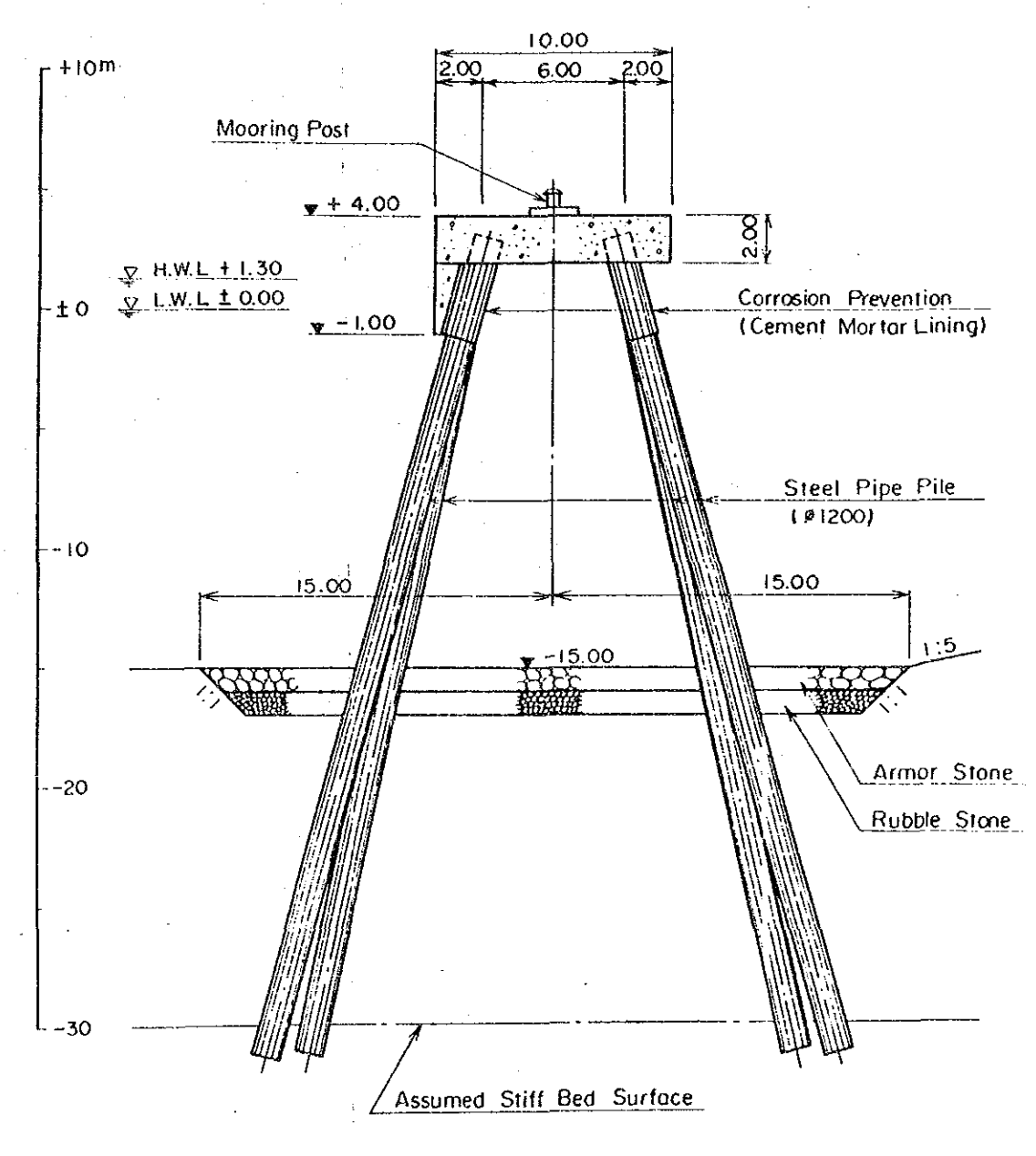
- i)海上コンベヤ基礎の設置高さは、最大設計波高を考慮してDL+5.0mとした。
- ii) 海上コンベヤ基礎の縦断方向の標準間隔はベルトコンベヤギャラリーの強度 から決定される標準的な寸法30mとした。
- iii) 杭は桟橋と同様、鋼管杭とした。基礎20基の内水深の深い場所に設置する 6基は杭に作用する波力が大きく、杭の自由長(海底面から杭先端までの長さ) が長いため、杭頭の変化を小さくするため斜杭とし、水深の小さい場所に設置 する杭は直杭とした。(図6.7-4参照)





# MOORING DOLPHIN





ZAMBALES COAL-FIRED POWER PROJECT

COAL UNLOADING JETTY (2-2)

JAPAN INTERNATIONAL COOPERATION AGENCY

O.A.; SUBMITTED;

I.R.; RECONVENDED;

APPROVED:

\_\_\_\_\_

6 - 93 SHEET NO.

-			

